

فناوری انتقال فلز سرد (CMT) - یک مرور کلی

خلاصه

فناوری انتقال فلز سرد با ایجاد بهبود زیبایی شناسی مهره های جوش با رسوب فلز کنترل شده و حرارت ورودی کم، انقلابی در جوشکاری فلزات غیر مشابه و مواد ضخیم تر ایجاد کرده است. در این مطالعه، فرآیند، ترکیبات جوش، جوشکاری هیبریدی لیزر-CMT و کاربردهای جوشکاری CMT به طور انتقادی بررسی می شوند. ریزساختار و سایر ویژگی های جوش به طور طولانی برای ترکیب های مختلف فلز پایه مورد بحث قرار گرفته اند. به ویژه جوشکاری الومینیوم و فولاد با نتایج بهتر با CMT Welding امکان پذیر شده است. نتایج بررسی شده در این مقاله نشان می دهد که جوشکاری هیبریدی CMT-Laser نسبت به جوشکاری هیبریدی لیزری یا لیزری ارجحیت بیشتری دارد. جوشکاری CMT کاربردهایی در صنایع خودروسازی، بخش های دفاعی و نیروگاهها به عنوان روشنی برای تولید افزودنی پیدا کرده است.

۱. معرفی

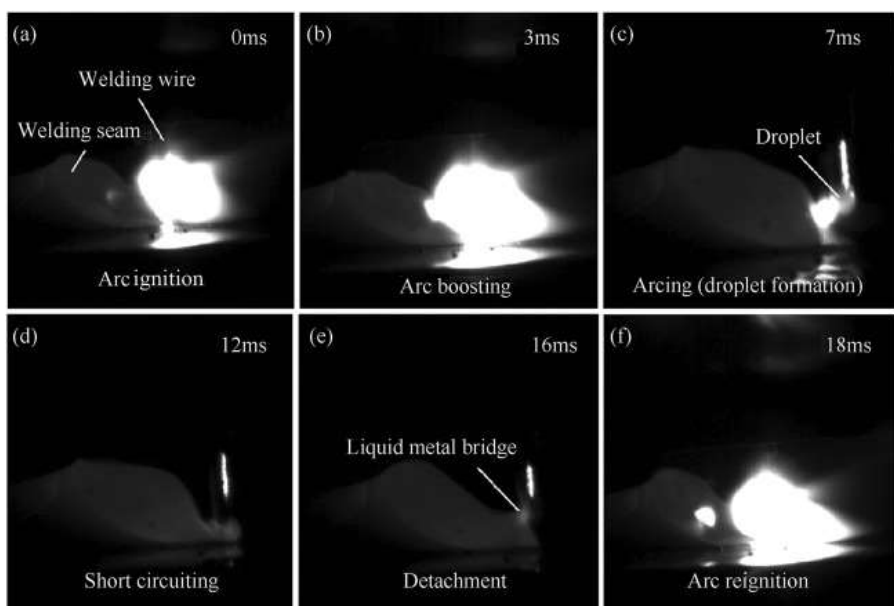
جوشکاری انتقال فلز سرد یک فرآیند جوشکاری MIG اصلاح شده بر اساس فرآیند انتقال اتصال کوتاه است که توسط Fronius اتریش در سال ۲۰۰۴ توسعه یافته است. این فرآیند با فرآیند جوشکاری MIG/MAG تنها به دلیل نوع روش برش قطره مکانیکی که قبلًا با آن مواجه نشده بود متفاوت است. در حین جوشکاری، تغییرات دما در جوش ها و فلزات اصلی تأثیرات مهمی بر ویژگی های مواد، نتش های پسماند و همچنین بر دقت ابعادی و شکلی محصولات جوش داده شده دارد. انتقال فلز سرد روش کنترل شده ای را برای رسوب مواد و ورودی حرارتی کم را با ترکیب یک سیستم تغذیه سیمی نوآورانه همراه با کنترل دیجیتالی با سرعت بالا ارائه می دهد. نرخ تغذیه سیم و فاز قوس چرخه ای کنترل می شود تا انرژی کافی برای ذوب شدن مواد پایه و یک گله سیم پرکننده به دست آید. دو ویژگی اصلی فرآیند CMT وجود دارد: یکی در نقطه اتصال کوتاه با جریان کم که مربوط به ورودی گرمایی کم است، دیگری وقوع اتصال کوتاه به شیوه ای کنترل شده پایدار است.

فرآیند انتقال اتصال کوتاه را با نام "رسوب قطرات با کمک مکانیکی" معرفی کرد که در کنترل اتصال کوتاه با جمع کردن سیم از اتصال کوتاه استفاده می شود Schierl. گزارش داد که حالت جاذسازی قطرات فرآیند CMT بدون کمک نیروی الکترومغناطیسی در مقایسه با فرآیند MIG معمولی است، بنابراین پاشش می تواند کاهش یابد. پیکین و یانگ قبلًا اصول عملیاتی این فرآیند را گزارش کردند. که فرآیند CMT به دلیل گرمایی کم و تغییر شکل جزئی برای جوشکاری ورق های آلیاژ الومینیوم نازک مناسب است. مطالعات اضافی توسط Zhang و همکاران. و کائو و همکاران تمرکز بر کاربرد فرآیند در آلیاژ های غیر مشابه به دلیل گرمایی ورودی کم است که از تشکیل ترکیبات بین فلزی شکننده جلوگیری می کند.

یک رابط گرافیکی توسط Sónia Meco و همکاران توسعه داده شد. با استفاده از روش درونیابی و شبکه عصبی برای کمک به کاربر در انتخاب پارامتر های مناسب جوش CMT برای کاربرد مورد نظر، با تجسم گرافیکی پروفیل های جوشکاری، که منجر به صرفه جویی در زمان، مواد و هزینه می شود .. امین س. آذر مدل منبع حرارتی را برای شبیه سازی اثر قوس های دوره ای و مکرر و پدیده رسوب فلز در نوع انتقال فلز سرد در جوشکاری تولید کرد. این مدل مطالعه رفتار حوضچه جوش و خواص مکانیکی حاصل را تسهیل می کند . تصویربرداری نوترونی و تحلیل کمی مادون قرمز برخی از آزمایشات غیر مخبر اخیر هستند که بر روی نمونه جوش CMT انجام شده است. یک مدل مورد نیاز برای شبیه سازی همکاری مشخصه بین تغذیه سیم و ورودی گرمای توسط Fengyuan Shu و همکاران منتشر شد.

۲. فرآیند انتقال فلز سرد

در فرآیند CMT، هنگامی که نوک سیم الکترود با حوضچه مذاب تماس پیدا می کند، سرومومتور مشعل جوشکاری «рабاکتر درایو» با کنترل فرآیند دیجیتال معکوس می شود. این باعث می شود که سیم انتقال قطرات را که در شکل ۱ نشان داده شده است جمع کند. به محض اتمام انتقال فلز، قوس دوباره مشتعل می شود و سیم یک بار دیگر با جریان جوش تنظیم شده به سمت جلو هدایت می شود.

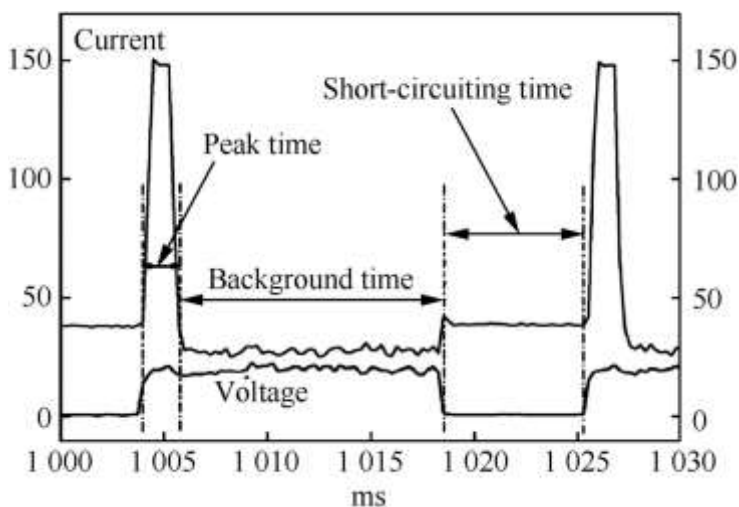


شکل ۱ - تصاویر با سرعت بالا از انتقال قطرات.

یک چرخه سیگال الکتریکی جوشکاری CMT معمولی را می‌توان به عنوان دوره مورد نیاز برای رسوب یک قطره الکترود مذاب در حوضچه جوش تعریف کرد. تجزیه و تحلیل شکل موج جریان و ولتاژ برای مطالعه توزیع انرژی فازهای مختلف در فرآیند انتقال قطرات ضروری است. چرخه به سه مرحله به شرح زیر تقسیم می‌شود:

۱. فاز پیک جریان: این یک ولتاژ قوس ثابت است که مربوط به یک پالس جریان زیاد است که باعث احتراق قوس جوش به راحتی می‌شود و سپس الکترود سیم را گرم می‌کند تا انتقال کروی قطره کوچک
۲. فاز جریان پس زمینه: فاز مربوط به جریان کمتری است. جریان کاهش می‌یابد تا از انتقال کروی قطره کوچک مایع تشکیل شده روی نوک سیم جلوگیری شود. این مرحله تا زمانی که اتصال کوتاه رخ دهد ادامه می‌یابد.
۳. فاز اتصال کوتاه: در این فاز ولتاژ قوس به صفر می‌رسد. در همان زمان، سیگال بازگشت به فیدر سیم ارائه می‌شود که به سیم نیروی پس کشی می‌دهد. این فاز به شکست مایع و انتقال مواد به حوضچه جوش کمک می‌کند.

شکل موج پیچیده جریان جوشکاری در فرآیند CMT و "تغذیه برگشتی" سیم پرکننده که به طور مکانیکی انتقال فلز را وادار می‌کند، درک رابطه بین پارامترهای جوشکاری، انتقال فلز و انتقال حرارت همانطور که در شکل ۲ نشان داده شده است را دشوار می‌کند. که توسط Mezrag و همکاران مورد مطالعه قرار گرفته است. برای اتصال جوش Al 4043-S235 با مدیریت کامل طول قوس و تحمل‌های جفت لبه بالا، فرآیند CMT مطمئناً در برنامه‌های صنعتی مختلف در آینده به عنوان رامحلی برای غلبه بر معایب روش‌های جوشکاری فعلی درگیر خواهد شد.



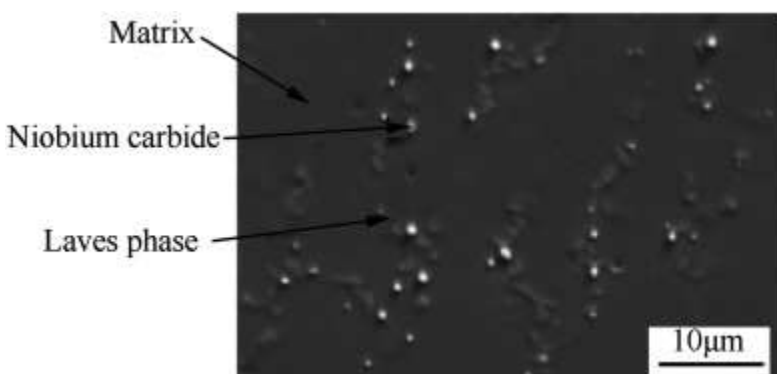
شکل شماره ۲

۳. جوشکاری CMT فلزات مشابه

جوشکاری کارآمد بسیاری از آلیاژ‌های آلمینیوم مشابه را انجام داده است. جوش‌های فلزی مشابه تهیه شده با استفاده از CMT برای انواع آلیاژ‌ها در زیر مورد بحث قرار می‌گیرند.

۱-۳ - آلیاژ اینکونل ۷۱۸ alloy ۷۱۸

تجزیه و تحلیل ریزساختاری عدم وجود همجوشی را نشان داده است که کیفیت جوش را به خوبی ثابت می‌کند. منطقه متاثر از گرمایش (HAZ) ارائه شده در شکل ۳، در مقایسه با منطقه ای که توسط جوشکاری MIG کلاسیک تولید می‌شود، اندازه کوچکی دارد (۰/۵ میلی متر). اندازه و هندسه کریستالیت‌ها در ناحیه جوش، یعنی دندریت‌های بزرگ، مشابه آنهایی است که در فرآیند MIG کلاسیک به دست می‌آیند. پس از انجام آنالیز شیمیایی EDS، هیچ تغییر قابل توجهی در همگنی مهره جوش مشاهده نشده است. تنش‌های پسماند حداقل هستند. این اثر توسط Benoit et al. نشان می‌دهد که جوشکاری CMT برای جوشکاری Inconel ۷۱۸ کاملاً مناسب است

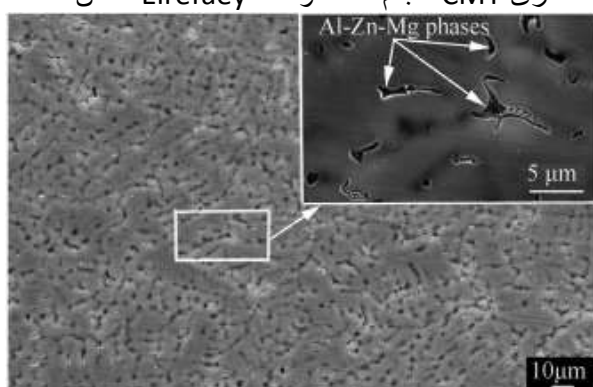


تصویر شماره ۳

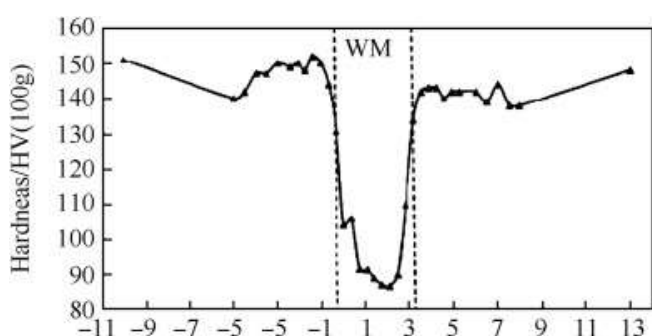
۲-۰۷۵ - آلیاژ آلمینیوم

اتصالات بدون پاشیدگی، ترک و دارای تخلخل بسیار کم آمده شدند. اتصالات حداقل ریزسختی را در ناحیه جوش (WZ) نشان داده شده در شکل ۴ نشان دادند و سختی جزئی در HAZ در مقایسه با فلز پایه (BM) کاهش یافت. مقایسه ریزسختی بین WZ و HAZ را می‌توان در شکل ۵ مشاهده کرد. اتصال دارای ضرایب خاصیت مکانیکی ۶۹٪/۷۷٪ و ۶۰٪/۶۹٪ برای استحکام تسلیم، استحکام کششی نهایی و از دید طول بود. جوشکاری CMT انجام شده توسط Elrefaey

اتصالاتی با ویژگی‌های مکانیکی بهتر از فرآیندهای MIG و TIG معمولی و قابل مقایسه با فرآیندهای FSW و LBW ایجاد می‌کند.



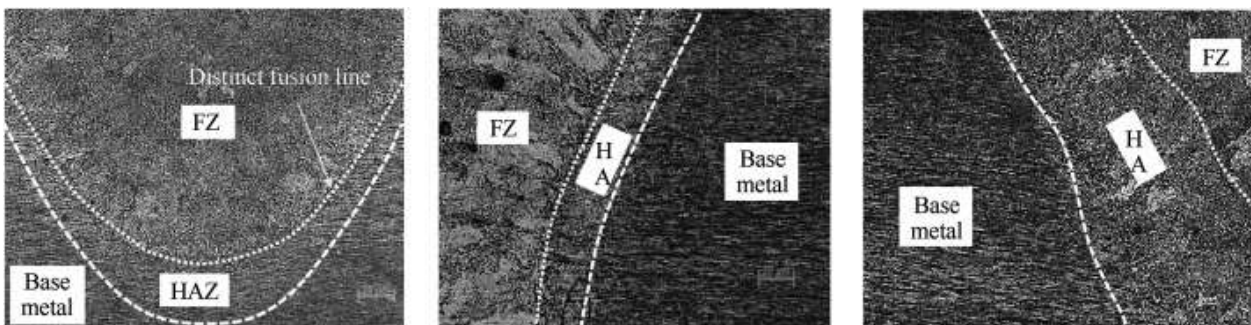
تصویر شماره ۴ - منطقه جوش آلیاژ 7075 Al



تصویر شماره ۵ - مشخصات میکروسختی در رابطه WZ/HAZ

۳ - ۳ - آلیاژ آلومینیوم AA6061

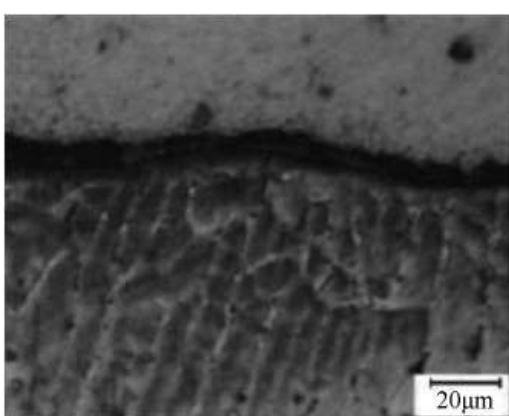
هنگامی که پاوان کومار و همکاران، ورق های آلیاژ آلومینیوم نازک را با استفاده از پرکننده، که از همان ترکیب فلز پایه است، جوش دادند، جوش ترکیبی شبه دوتایی را نشان داد. این ترکیب به طور بالقوه کمتر مستعد ترک خودگی انجامد، خط همچو شی کنترل شده، منطقه تحت تاثیر حرارت باریکتر (HAZ) و کاهش سطح فاز بین فلزی است. ریزساختارها برای پارامترهای مختلف جوش که در شکل ۶ دیده می شود، تبلور مجدد خوب را در اتصالات نشان می دهد. توزیع یکنواخت دانه ها و اندازه آن در جوش HAZ و فلز پایه به طور مشخص قابل مشاهده بود.



تصویر ۶ - ریزساختارهای آلیاژ AA6061 همانطور که از میکروسکوپ نوری مشاهده می شود.

۴ - ۳ - ورق فولادی گالوانیزه

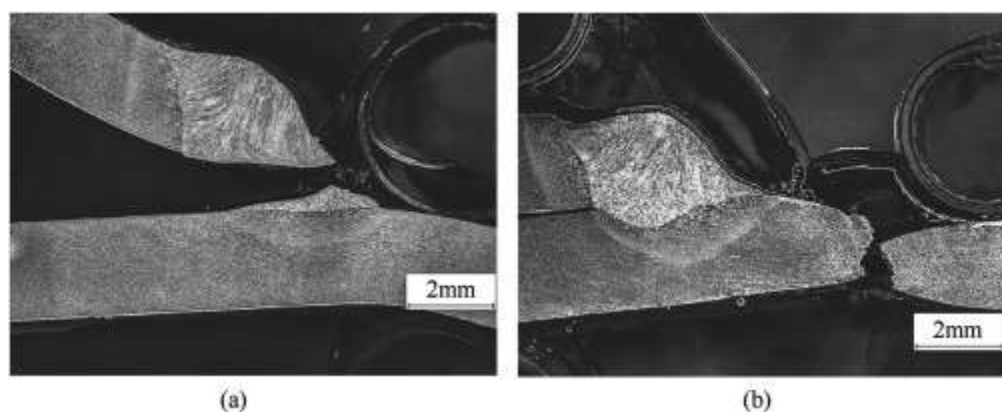
اتصالات فولاد گالوانیزه ساخته شده با سیم الکترود CuSi3 تحت بررسی متالوگرافی میکروسکوپی نشان داده شده در شکل ۷ قرار گرفتند که شامل منطقه جوش و مواد پایه بود. بررسی متالوگرافی ماکرو و میکروسکوپی توسط Magda همکاران. کیفیت بالای اتصالات لحیم کاری شده را تایید کرد، که هم وجود یک ناحیه انتشار مس و هم لایه روی آسیب نخورده را در مناطق مجاور جوش نشان داد.



شکل ۷. منطقه جوش لحیم کاری شده.

۵ - ۳ - فولاد گالوانی

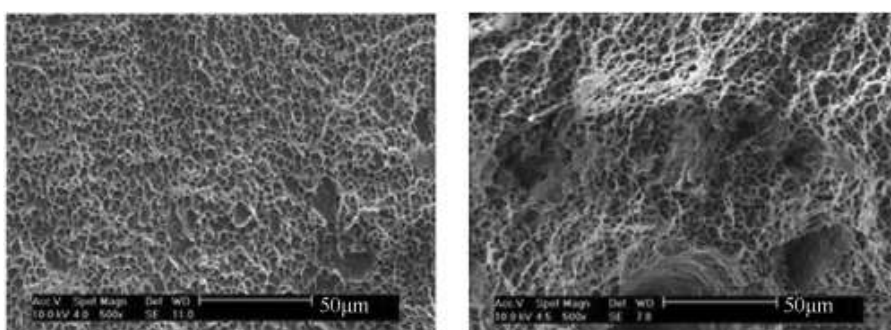
شرایط ورودی گرمای کم و زیاد تمایل به تشکیل تخلخل کمتر در مهره جوش داشتند، در حالی که شرایط ورودی گرمای متوسط مستعد تشکیل تخلخل بودند. انجام در شرایط ورودی گرمای کم در اوایل شروع شد و منجر به ایجاد تخلخل های کوچک در نزدیکی ریشه جوش شد که در شرایط گرمای ورودی بالا از آن اجتناب می شود. شکل ۸ مکانیسم های مختلف تشکیل تخلخل را نشان می دهد. احسن و همکاران شرایط جوشکاری بهینه را برای کاهش تخلخل برای دو ورودی محدوده حرارتی ایجاد کرد، یکی در ورودی گرمای کم در محدوده ۲۰۰ تا ۲۵۰ ژول بر میلی متر و دیگری در ورودی های گرمای بالا، از ۳۵۰ ژول بر میلی متر شروع و تا ۵۵۰ ژول بر میلی متر افزایش می یابد.



شکل ۸. مکانیسم های تشکیل تخلخل در ورودی های حرارتی مختلف.

۶ - آلیاژ آلومینیوم 5083-H116

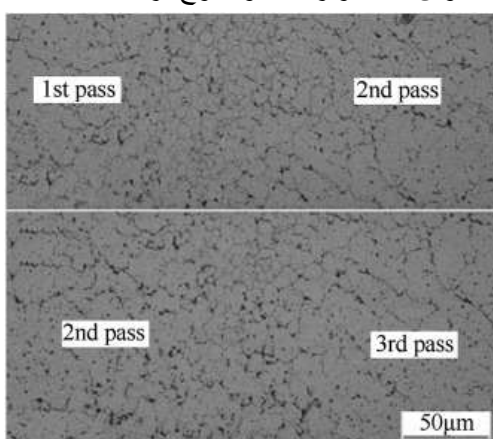
ژایر کارلوس دوترا و همکاران از دو الکترود سیمی مختلف Al 5183 و Al 5087 استفاده شد. جوش با استفاده از الکترود Al 5087 عملکرد مکانیکی بهتری را در آزمایش های کششی نشان داد. میکروسختی در هر دو WZ و HAZ مشابه بود. علاوه بر این، هر دو الکترود سیمی چقرمگی یکسانی را نشان دادند. نتایج آزمون چقرمگی جابجایی باز شدن نوک ترک نشان می دهد که ترکیبات اعمال شده از پایه و مواد خوارکی ویژگی های مقاومت ترک خوردنگی خوبی را ارائه می دهند.



شکل ۹. میکروگراف SEM از شکستگی در اتصالات جوش با استفاده از سیم پرکننده ۵۰۸۷ و ۵۱۸۳.

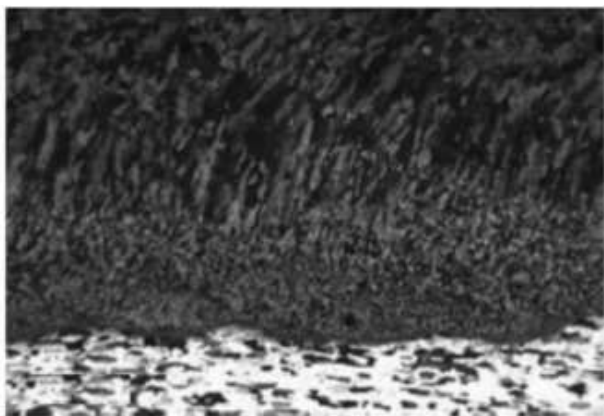
۷ - آلیاژ آلومینیوم AA7A52

فنگ و همکاران نشان داد که جداسازی بین دانه های، که باعث ایجاد مرز دانه درشت بین مسیر های جوش می شود، همانطور که در شکل ۱۰ نشان داده شده است، نشان داده شد که عملکرد مکانیکی پایین تری از خود نشان می دهد. توزیع تنفس سه محوری در ناحیه همگوشی نشان دهنده تمایل به شکست کششی در شرایط سرویس بود. منطقه نرم شده در داخل صفحات پایه بسیار گسترده تر از نزدیک به سطوح صاف بود. منطقه خاموش شده نواری به وضوح از صفحات داخلی منطقه متوسط باریک تر بود.



شکل ۱۰. ریزساختار ناحیه مذاب

یک هندسه انگشتی باریک مشاهده شد. با استفاده از فرآیند CMT مرسوم. تعداد زیادی منافذ گاز در قسمت های پایین و بالایی جوش وجود دارد. شکل ۱۱ ریزساختار جوش را در جهت طولی با استفاده از جوشکاری CMT معمولی نشان می دهد. تخلخل به طور موثر با کمک جوش CMT کاهش یافت.



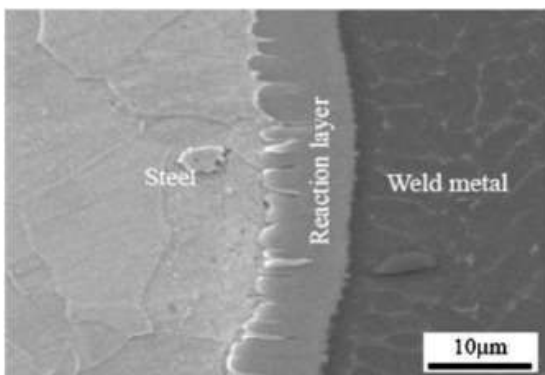
شکل ۱۱. ریزساختار جوش در جهت طولی.

۴. جوشکاری CMT فلزات غیر مشابه

جوشکاری CMT همچنین به طور گسترشده برای جوشکاری فلزات غیر مشابه مانند آلومینیوم و فولاد استفاده می شود. در زیر به جوش های متفاوتی که با استفاده از CMT تهیه شده اند، پرداخته شده است.

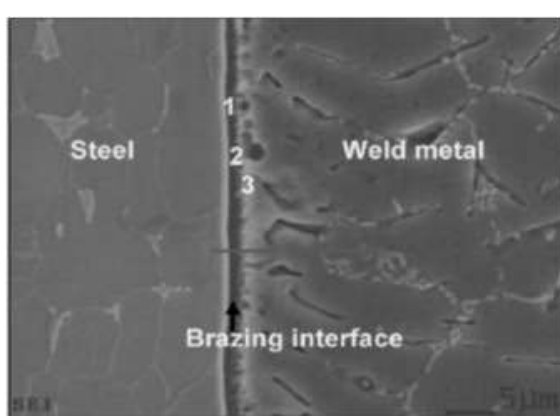
۴/۱. فولاد با روکش روی (Q235) و آلومینیوم فرفرزه (6061)

لایه های بین فلزی تشکیل شده در سطح مشترک بین فولاد روکش شده روی و آلومینیوم فرفرزه عمدتاً فاز $FeAl_3$ هستند. ژانگ و همکاران دریافتند که CMT با کاهش ضخامت ترکیب بین فلزی شکننده در سطح مشترک بین آلومینیوم و فولاد، استحکام اتصال لبه فلزی غیر مشابه را افزایش می دهد. ساختار دندانهایی که در شکل ۱۲ نشان داده شده است، عمدتاً در طول انجام ایجاد می شود، عمدتاً توسط انتشار اتم های Fe و Al در سطح مشترک بین آلومینیوم مذاب و فولاد جامد کنترل می شود.



شکل ۱۲. رابط بین فلز جوش و فولاد.

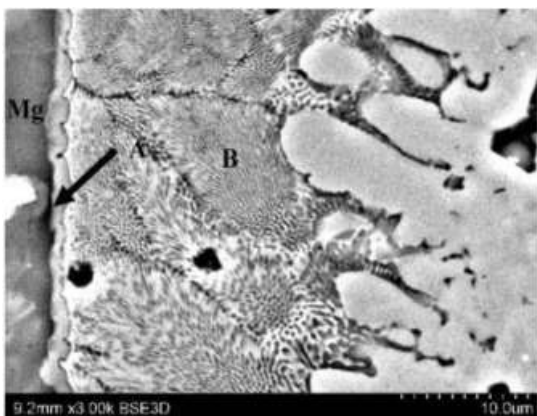
جوشکاری Q235 CMT با T6-Al6061. استحکامی برابر با جوشکاری CMT Al6061-T6 با T6-Al6061 ایجاد کرد. مشخص شد که استحکام اتصال به ضخامت لایه بین فلزی نشان داده شده در شکل ۱۳ و نرم شدن ناحیه متاثر از حرارت آلومینیوم بستگی دارد.



شکل ۱۳. ریزساختار رابط لحیم کاری.

۲-۴- منیزیم AZ31 و آلیاژ آلومینیوم ۶۰۶۱

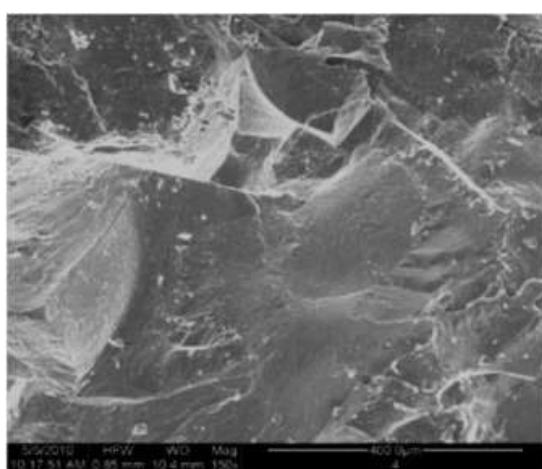
وانگ و همکاران هیچ نقصی در جوش مشاهده نشد زیرا حرارت ورودی کم و افزودن Si به جوش به طور موثری از ایجاد ترکیبات بین فلزی شکننده جلوگیری می کند که با استفاده از پراش اشعه ایکس بررسی می شود. شکل ۱۴ ناحیه همجوشی نزدیک زیر لایه منیزیم است که استحکام اتصال و ریزساختار آن را دیگر می کند. چهار لایه پیوسته شامل لایه محلول جامد، لایه ساختار یوتکنیک، لایه Mg17Al12 و لایه Mg2Al3 مشاهده می شود. ریزساختی در ناحیه همجوشی نزدیک سمت منیزیم حدود ۲۴۰-۲۳۰ HM بیشتر از فلز جوش ۱۲۰ HM و بستر منیزیم ۶۰ HM است.



شکل ۱۴. میکروگراف ناحیه همجوشی.

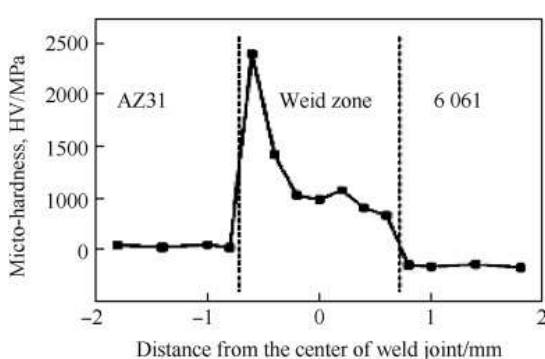
۳-۴- نوار منیزیم AZ31 و آلیاژ ۶۰۶۱

وقتی از مس خالص به عنوان فلز پرکننده استفاده شد، ترکیبات بین فلزی Cu9Al4، CuAl2، AlCu در ناحیه همجوشی سمت Al وجود داشتند، و محلول جامد مبتنی بر Cu در ناحیه جوش تولید شد، در حالی که ساختار یوتکنیک سه تایی Mg و Cu2Mg Al-Cu-Mg تشکیل شد. منطقه همجوشی سمت منیزیم استحکام باند اتصال ۳۴/۷ مگاپاسکال بود. شکل ۱۵ مورفولوژی شکستگی را نشان می دهد. شکستگی در ناحیه همجوشی سمت منیزیم رخ داد که در آن مقدار ریز سختی به دلیل مقدار زیاد ترکیب بین فلزی Cu2Mg بالاترین بود.

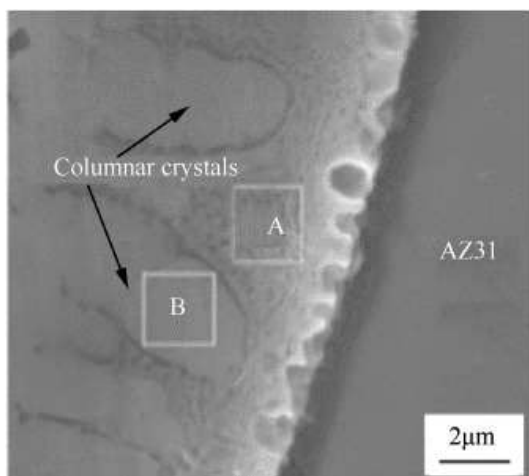


شکل ۱۵. مورفولوژی شکستگی.

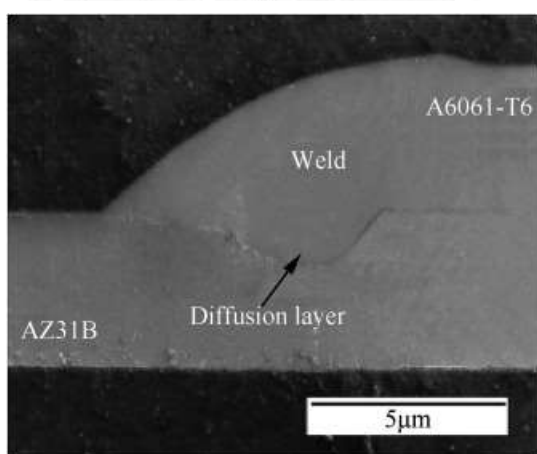
با ER4043 به عنوان فلز پرکننده، جوش CMT منیزیم AZ31B و آلیاژ آلومینیوم ۶۰۶۱ که توسط Shang Jing و همکاران توسعه یافته است. دارای ریزساختی یکنواخت در هر دو طرف بستر، حدود ۵۴۰ مگاپاسکال در سمت منیزیم و ۳۵۰ مگاپاسکال در سمت Al همانطور که در شکل ۱۶ مشاهده می شود. بالاترین مقدار ریزساختی ۲۳۸۰ مگاپاسکال در ناحیه همجوشی سمت منیزیم بود. ریزساختی در جوش از سمت منیزیم به سمت Al با کاهش ترکیبات بین فلزی روند کاهشی نشان داد. اتصال با استحکام پیوند کم در لایه ترکیبی بین فلزی ناحیه همجوشی سمت منیزیم شکسته شد. ترکیبات بین فلزی Si2Mg، Mg2Al3 و Mg17Al12 که به طور پیوسته در ناحیه همجوشی ارائه شده در شکل ۱۷ توزیع شده اند، مسئول شکستگی هستند.



شکل ۱۶. توزیع ریزساختی اتصال.



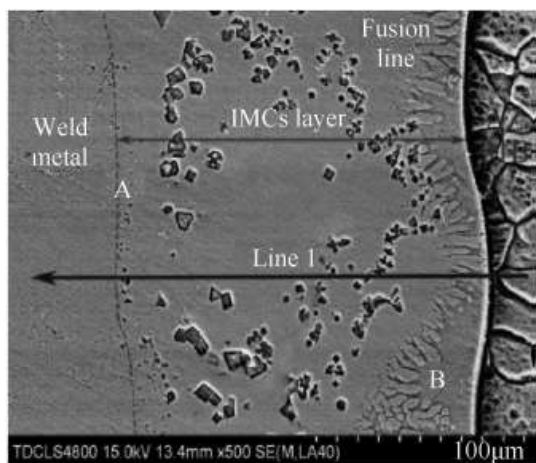
شکل ۱۷. منطقه همجوشی.



شکل ۱۸. مقطع جوش.

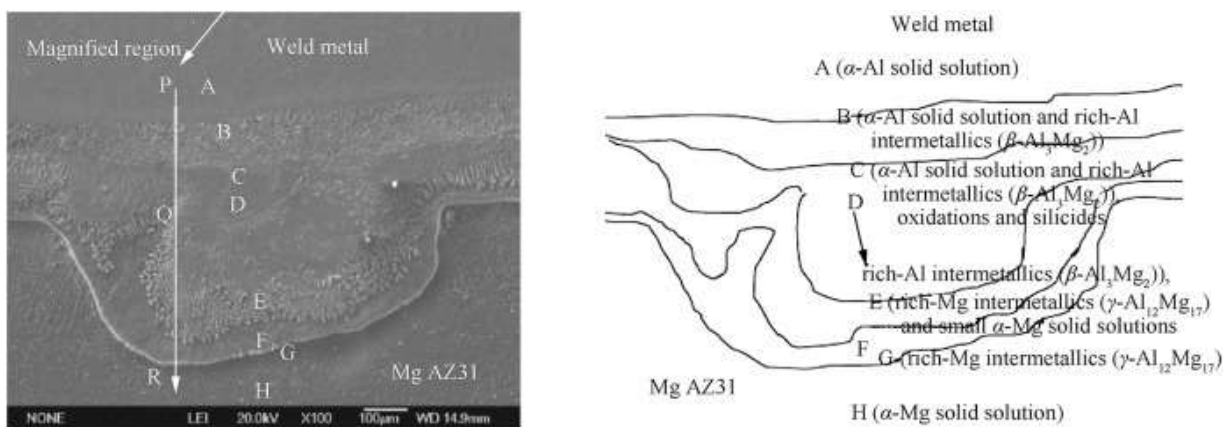
در حضور Al-5%Si به عنوان فلز پرکننده، حداقل استحکام کششی ۳۶۰ نیوتن بر میلی متر توسط مدھاوان و همکاران به دست آمد. افزایش استحکام کششی به حداقل تنفس کششی و رسوبات ریزتر نسبت داده شد. بهبود مقاومت در برابر خوردگی حفره ای به دلیل تشکیل Mg₂Si و Al₆Mn در لایه سطحی مشاهده شد. میکروگراف کل بخش جوش را می‌توان در شکل ۱۸ مشاهده کرد.

آلیاز منیزیم AZ31B و Al 6061 با جوشکاری CMT با قطبیت متغیر (VPCMT) توسط پنگ وانگ و همکاران جوش داده شد. لایه های Mg-Al IMC در فصل مشترک جوش، نزدیک سمت AZ31B اتصالات جوش داده شده تشکیل شده و از سه لایه میانی تشکیل شده است: لایه Mg₂Al₃ ، لایه Mg₁₇Al₁₂ ، و لایه یوتکنیک محلول جامد Mg₁₇Al₁₂+α-Mg (بسیار نازک) همانطور که نشان داده شده است. در شکل ۱۹. با کاهش نسبت EP/EN از ۴:۱ به ۴:۲، ضخامت کل لایه IMC ها به تدریج افزایش یافت و استحکام کششی به طور قابل توجهی افزایش یافت. همه نمونه ها در لایه IMC های شکننده سخت شکسته شدند.



شکل ۱۹. رابط جوش.

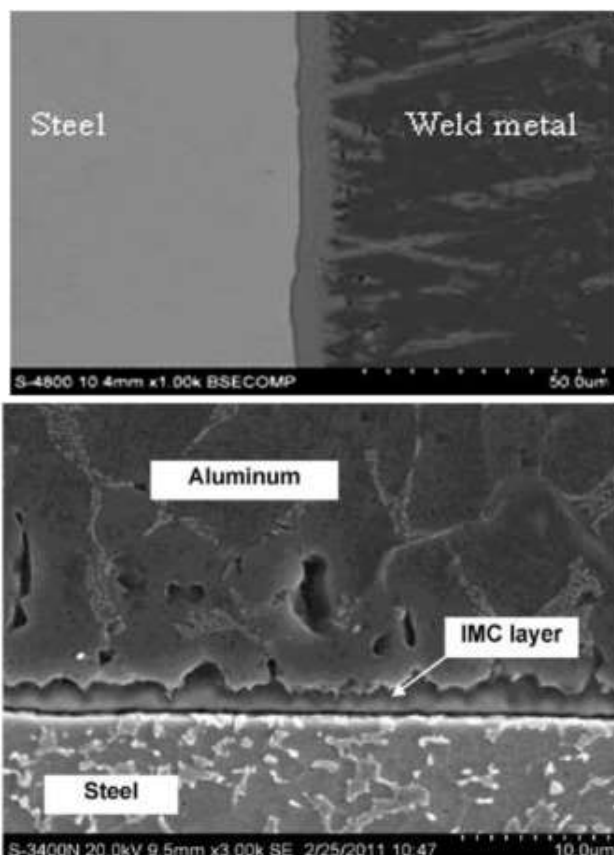
جوشکاری ورق های منیزیم AZ31B و 6061-T6 مقدار قابل توجهی از ترکیبات بین فلزی غنی از منیزیم را به دست آورد که در شکل ۲۰ نشان داده شده است که استحکام جوش را در کنار فلز پایه آلیاژ منیزیم کاهش می دهد. مدهاون و همکاران هر دو. و کائو و همکاران نتایج مشابهی را برای جوش فوق به دست آورد.



شکل ۲۰. نمای بزرگ شده مقطع جوش و توزیع فاز شماتیک مربوطه.

۴ - ۴ - فولاد کالوانیزه گرم و آلیاژ آلومینیوم ۱۰۶۰

لایه مرکب در سطح مشترک بین فولاد و فلز جوش عمدتاً از فاز Fe₂Al₅ و FeAl₃ تشکیل شده است. شکل ۲۱ یک تصویر SEM از رابط فلزی جوش فولادی را نشان می دهد. ضخامت لایه ترکیبی بین فلزی زیر ۵ میکرومتر کنترل شد که استحکام اتصال را تضمین می کند. استحکام کششی به ۸۳ مگاپاسکال رسید.



شکل ۲۱. رابط فلزی جوش فولادی.

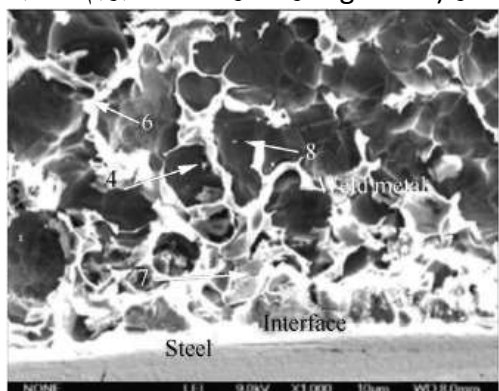
۵ - آلمینیوم (AA6061) و آلیاژ فولاد کم کربن

استحکام برشی بالاتر و شکست خط همچو شی تو سط Jian و همکاران ثبت شد. زمانی که پوشش روی به ورق فولادی ارائه شد. در غیر این صورت، منجر به کاهش مقاومت برشی و شکست رابط شد. حداقل تنفس اصلی و انرژی تغییر شکل به عنوان معیار برای شکست رابط و کرنش پلاستیک به عنوان معیاری برای شکست خط همچو پیشنهاد شد. شکل ۲۲ رابط بین فولاد و آلمینیوم را نشان می دهد.

شکل ۲۲. رابط آلمینیومی فولادی.

۶ - ۴ - منیزیم AZ31 و فولاد ملایم گالوانیزه گرم

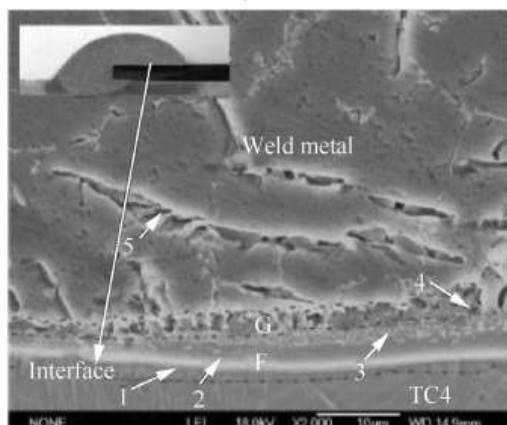
در پوشش روی سطح فولاد برای یک جوش سالم ضروری است. شکل ۲۳ رابط لحیم کاری را نشان می دهد که از ترکیبات و اکسیدهای بین فلزی Al ، Zn ، Mg (MgFeAlO₄، Mg₂Zn₁₁ و Fe₂O₃) یعنی



شکل ۲۳. جوش فلز نزدیک لحیم کاری.

۶ - ۷ - آلیاژهای آلومینیوم A6061-T6 و تیتانیوم Ti-6Al-4V

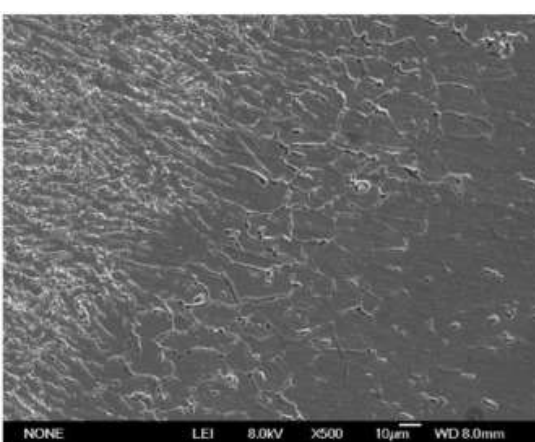
ها در رابط لحیم کاری نشان داده شده در شکل ۲۴ عمدتاً از دو لایه تشکیل شده اند: لایه پیوسته که از Ti₃Al و



شکل ۲۴. رابط لحیم کاری بین اتصال همجوشی و ماتریس آلیاژ Ti.

۶ - ۸ - آلومینیوم AA6061-T6 به آلیاژ فولاد گالوانیزه

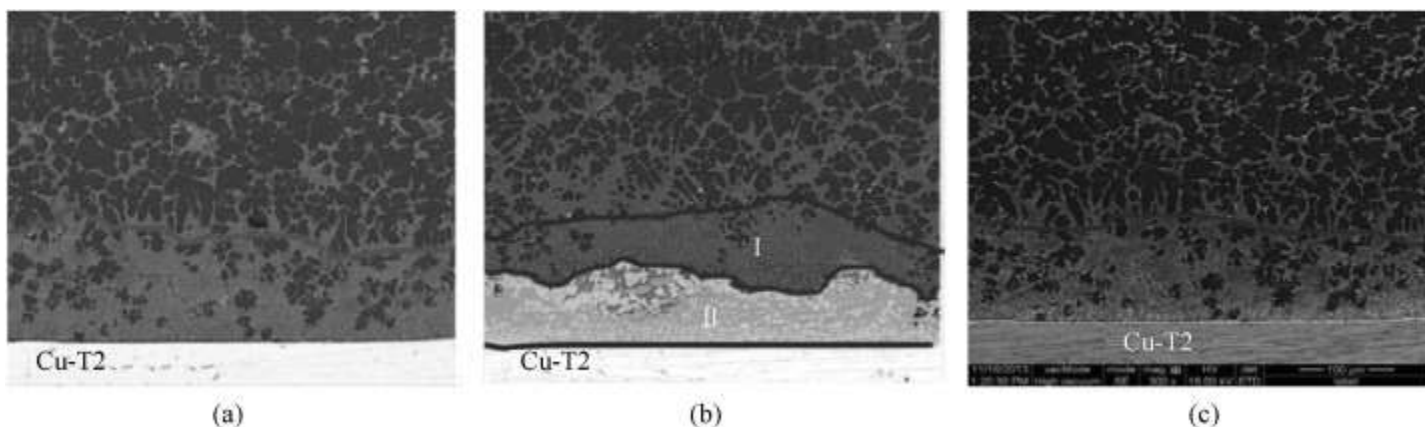
اگر سرعت فیدر سیم به درستی کنترل شود، می توان یک اتصال صوتی به دست آورد. فصل مشترک لحیم کاری بین فلز جوش Al و فولاد نرم گالوانیزه از نوع بین فلزی FeAl₃ با ضخامت حدود ۸-۵ میکرومتر تشکیل شده است. ریزاساختار ناحیه همجوشی در شکل ۲۵ نشان داده شده است. علاوه بر این، توالی انباسته شدن مواد بر استحکام اتصالات جوش داده شده با پلاک نقطه ای CMT تأثیر می گذارد. استحکام اتصالات AA6061 جوش داده شده نقطه ای کمتر از اتصالات فولادی نرم AA6061 به گالوانیزه است.



شکل ۲۵. منطقه همجوشی/AA6061-T6 فولاد.

۴-۹ - آلیاژ منیزیم AZ31B و آلیاژ مس خالص T2

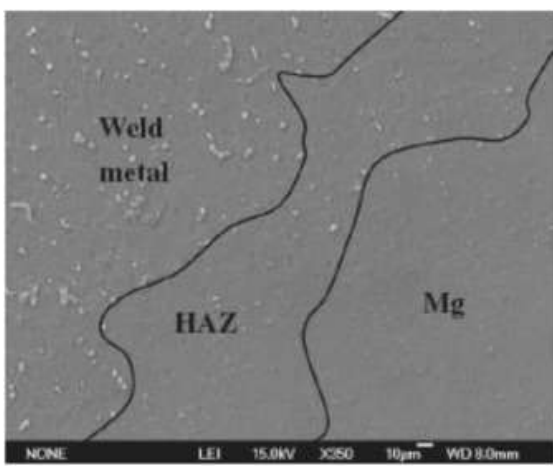
ناحیه لحیم کاری نوک جوش و ناحیه لحیم کاری ریشه جوش نشان داده شده در شکل (a) و (c) به ترتیب مشابه بودند و فقط از یک لایه (α -Mg) تشکیل شده بودند. با این حال، منطقه لحیم کاری میانی Mg17Al12 + Al6Cu4Mg5 و Mg2Cu + MgCu2 + Al6Cu4Mg5 مشاهده شده در شکل (b) از دو لایه (α -Mg + α -Mg) تشکیل شده است. هنگامی که ضخامت لایه های رابط لحیم کاری بین فلز جوش منیزیم و پایه مس در محدوده ۳۵۰-۸۰ میلی متر بود، اتصال لحیم شده می تواند به استحکام بالاتر ۱۷۲/۵ نیوتون بر میلی متر برسد. توسط کائو و همکاران به پایان رسید. که در این محدوده ضخامت لایه های رابط لحیم کاری بین فلزی هیچ تاثیر آشکاری بر مقاومت برخشی کششی ندارد. h از مفصل لبه دار.



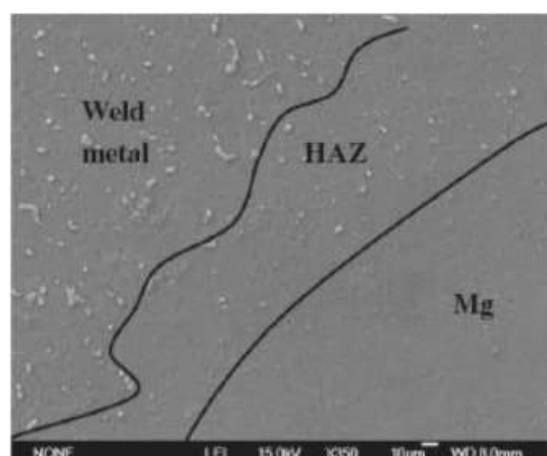
شکل ۲۶. ریزساختار (الف) ناحیه لحیم کاری انگشتی (ب) ناحیه لحیم کاری ریشه و (ج) ناحیه میانی.

۴-۱۰ - تیتانیوم خالص TA2 به آلیاژ منیزیم آلیاژ AZ31B

برای اتصال Mg-Ti، ظاهر جوش راضی و بار کششی بالاتر ۲/۱۰ کیلو نیوتون به دست آمد. برای اتصال Mg-Ti، بار کششی ۱/۸۳ کیلو نیوتون تشخیص داده شد. رابط لحیم کاری توسعه یافته توسط کائو و همکاران. عمدتاً از Ti3Al2، Mg0.97Zn0.03 و Mg17Al12 بین فلزی تشکیل شده بود. عناصر Al و Zn در فلز پایه منیزیم و سیم منیزیم برای پیوستن موقت آمیز به فلزات پایه منیزیم و تیتانیم ضروری هستند. رابط جوش اتصال Mg/Ti و اتصال Ti/Mg ترتیب در شکل ۲۷، ۲۸ نشان داده شده است.

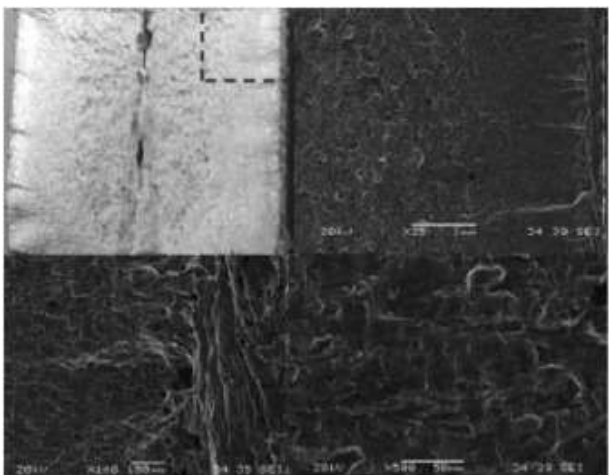


شکل ۲۸. رابط جوش اتصال Ti/Mg.



شکل ۲۷. رابط جوش اتصال Mg/Ti.

۱۱ - ۴- آلیاژهای آلومینیوم 5083-H111 and 6082-T651 aluminium alloys

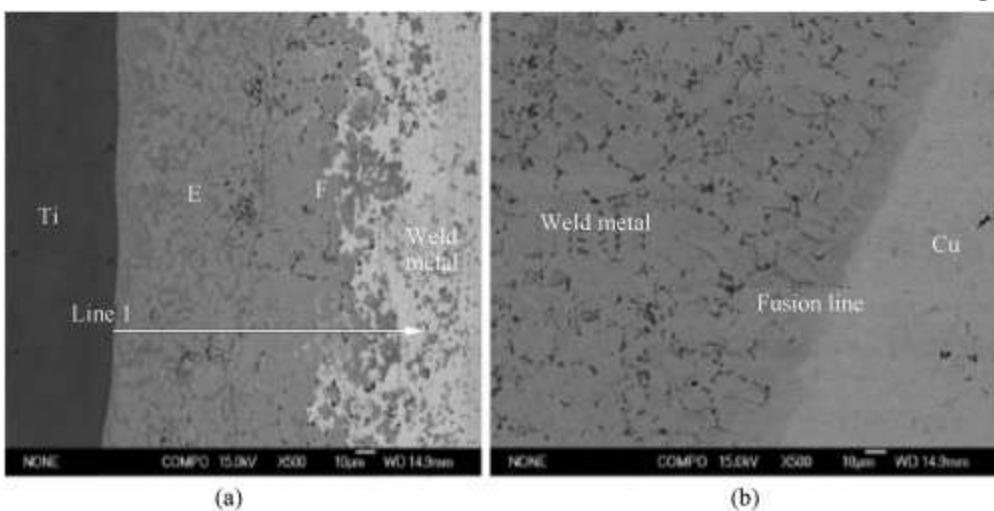


ریزسختی اتصالات جوش داده شده مشابه با سختی مشخصه عبوری در سراسر جوش بود، افت سختی کمی نزدیک به فلز پایه بود. اتصالات جوش و فلز پایه دارای استحکام کششی مناسبی بودند. شکل ۲۹ عکس های مکروگراف و SEM از سطوح شکستگی نمونه خستگی را نشان می دهد. توسط بیت الله گونگر و همکاران ذکر شده است. که نتایج جوشکاری CMT به FSW نزدیکتر بود و مقادیر استحکام تسلیم بالاتری نسبت به سایر روش های جوشکاری داشت.

شکل ۲۹. سطح شکست نمونه های خستگی.

۱۲ - ۴- تیتانیوم TA2 تا آلیاژ مس خالص T2

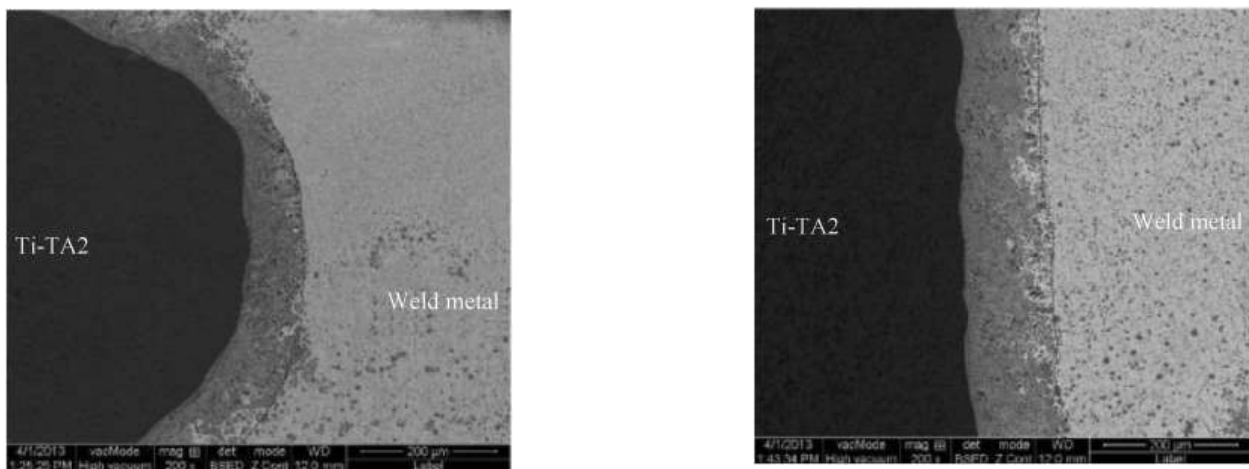
کافو و همکاران اتصالات لبه جوشی رضایت بخشی با ظاهر جوشی مطلوب و ترشوندگی و پخش پذیری خوب فلز پرکننده بر روی سطح هر دو آلیاژ به دست آمد. لایه ای از IMC ها، یعنی AlCu_2Ti و Ti_2Cu در رابط جوش تیتانیوم وجود داشت. ریزساختار رابط جوش تیتانیوم و رابط جوش مس در شکل ۳۰ نشان داده شده است. استحکام برشی کششی اتصال I (ورق مس بالاورق Ti پایین) به $197/5$ نیوتن بر میلی متر رسید در حالی که مقاومت برشی کششی اتصال II (ورق Ti بالا - ورق مس پایین) می تواند به $205/8$ نیوتن بر میلی متر برسد. Joint II و I دارای استحکام قابل مقایسه با CMT Lap جوش داده شده Cu-T2 به Cu-T2 با مقاومت کششی 194 N/mm بود. مفاصل همگی در Cu HAZ با حالت شکستگی پلاستیکی شکستند.



شکل ۳۰. ریزساختار (الف) رابط Cu-Weld و (ب) رابط Ti-weld

در اتصال لب به لب جوش و لحیم کاری CMT تیتانیوم TA2 به آلیاژ مس خالص T2 ضخامت لایه IMCs یکنواخت نبود: $117-129$ میکرومتر در سطح شیار میانی و $100-80$ میکرومتر در سطح شیار ریشه، به ترتیب در شکل ۳۱، شکل ۳۲

ارائه شده است. لایه های IMCs در رابط لحیم کاری عمدتاً از Ti₂Cu ، TiCu و AlCu₂Ti به ترتیب از فلز پایه Ti تا فلز جوش تشکیل شده است. بار های کششی ۵/۱۰ کیلونیوتن بدست آمد و شکست در HAZ Cu رخ داد.

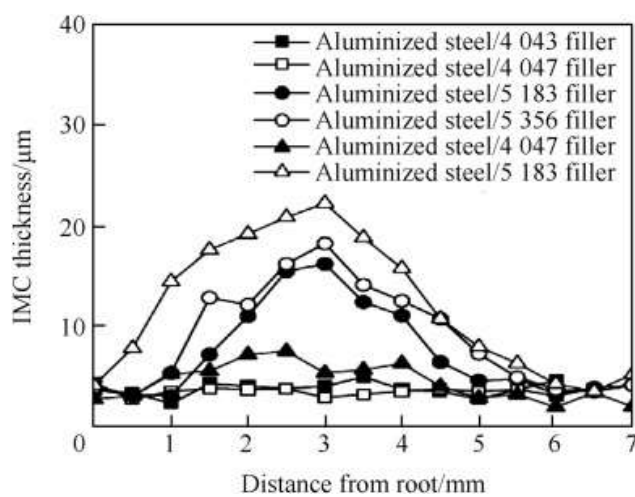


شکل ۳۲. سطح ریشه رابط لحیم کاری.

شکل ۳۱. سطح میانی رابط لحیم کاری.

۱۳ - ۴ - ورق فولادی گالوانیزه گرم و آلیاژ آلومینیوم ۵۰۵۲

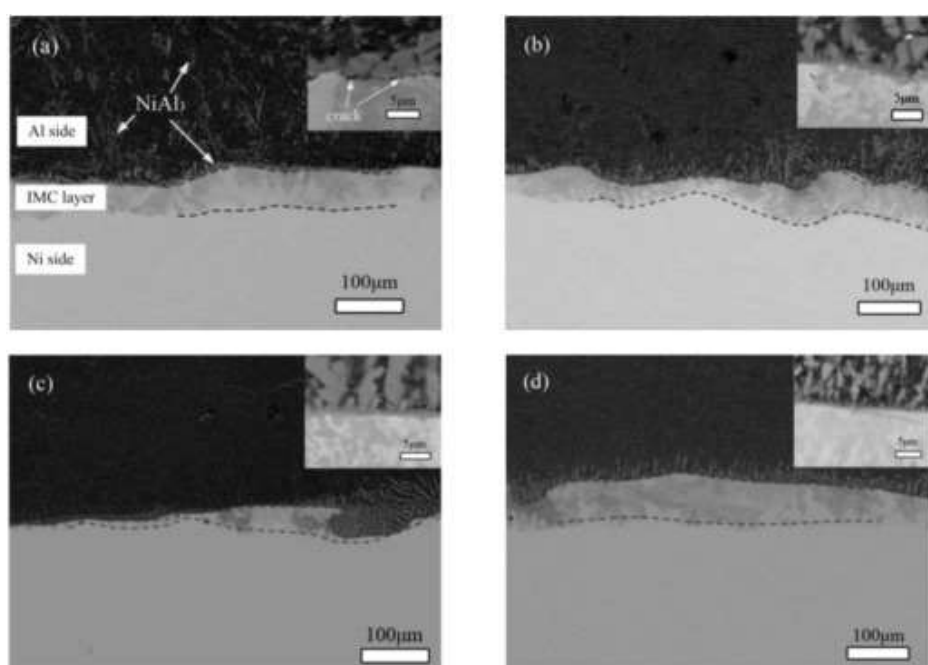
Cheolhee Kim و Minjung Kang به این نتیجه رسیدند که ترکیب Si فلز پرکننده در درجه اول بر ضخامت لایه IMC تأثیر می گذارد. با استفاده از سیم پرکننده Al 4043 (Al 4047 AISI) و Fe2Al5 ، رشد لایه ذوزنقه ای ۵۰۵۲ آلیاژ AI به مواد پایه فولادی محدود شد و یک رابط تقریباً صاف بین لایه IMC و فولاد مشاهده شد. نمونه ها در HAZ ۵۰۵۲ AI شکسته شدند. شکل ۳۳ تغییر ضخامت IMC را از ریشه نشان می دهد.



شکل ۳۳. تغییر ضخامت بر اساس IMC.

۱۴ - ۴ - آلومینیوم Aluminium 5A06 with pure Ni N6 plates

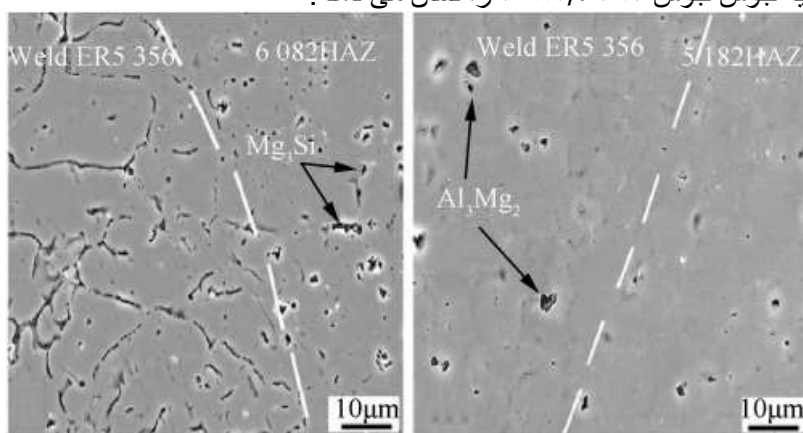
اتصال جوش را می توان به چهار بخش تقسیم کرد: فلز پایه نیکل، لایه Ni₂Al₃ IMC، لایه Ni_{0.9}Al_{1.1} و Ni₃Al₁، و جوش محلول جامد-Si-Al، همانطور که به طور متوالی از سمت نیکل به سمت آلومینیوم تشکیل می شود. با افزایش سرعت جوش، ضخامت لایه IMC ابتدا کاهش و سپس رشد کرد. این در شکل ۳۴ نشان داده شده است. بیشترین مقاومت برشی به دست آمده ۴۲ مکاپاسکال بود. با ضخیم شدن لایه IMC، استحکام مفصل به کاهش ادامه داد. شکستگی ها عمدتاً در لایه NiAl و NiAl₃ IMC قرار داشتند.



شکل ۳۴. اثر سرعت جوش بر روی ریزساختار اتصال Al-Ni a) ۹ mm/s، b) ۱۱ mm/s، c) ۱۵ mm/s و d) ۱۷ mm/s.

۴-۱۵ - ورق های آلیاژ آلومینیوم 5182-O and 6082-T4

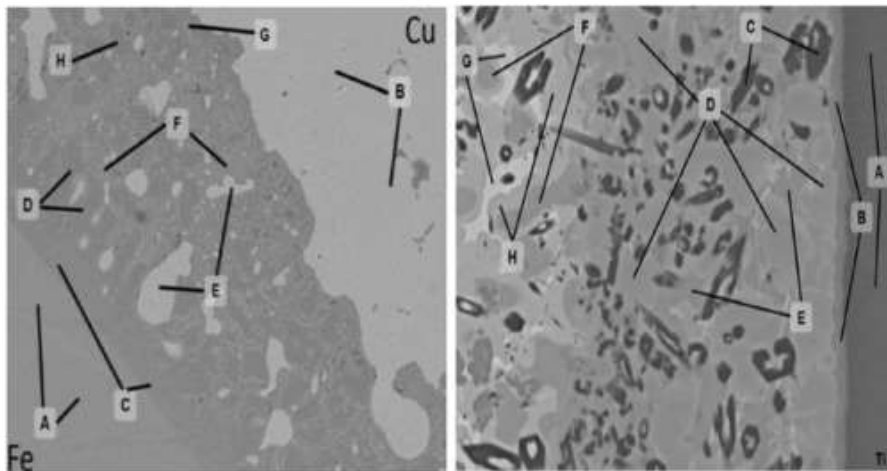
در ۵۱۸۲ ورق، ریزساختار HAZ رسوبات ریز فاز دوم و درشت شدن رسوبات Mg₂Al₃ در ماتریس آلومینیوم را نشان داد. به طور کلی، جوشکاری CMT آلیاژ ۶۰۸۲-۵۱۸۲ خواص مکانیکی بدتری را در مقایسه با اتصالات ۵۱۸۲/۵۱۸۲ و ۶۰۸۲/۶۰۸۲ نشان نداد. شکل ۳۵ تصاویر ناحیه جوش جوش WM/6082 HAZ و WM/5182 HAZ.



شکل ۳۵ WM/6082 HAZ و WM/5182 HAZ.

۴-۱۶ - تیتانیوم AMS4911L با فولاد ضد زنگ L316

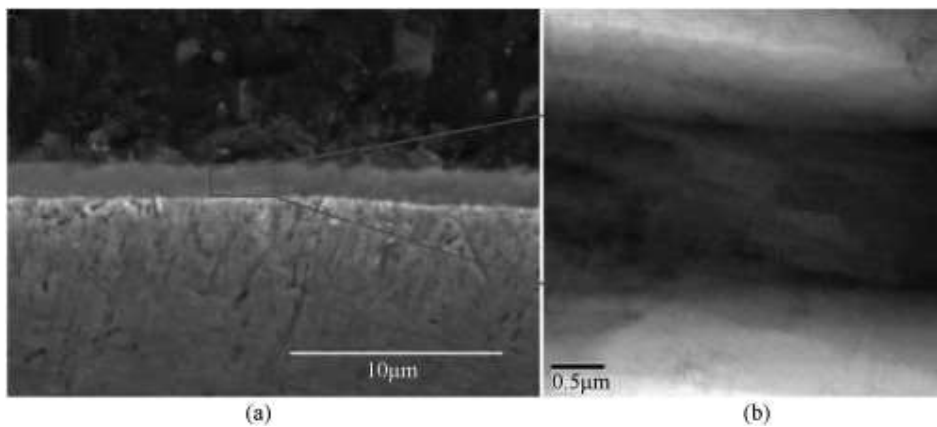
حداکثر خواص کششی را در گرمایی ورودی بالاتر به دست آورد، IMC های تشکیل شده در مقایسه با IMC های Fe-Ti ماهیت انعطاف پذیری بیشتری دارند و عمدتاً در رابط بین فلزات اصلی و Cu (سیم پرکننده) قرار داشتند. حداکثر سختی اندازه گیری شده ۱۰۰۰ HV0.1 بود. رابط های جوش در شکل ۳۶ ارائه شده است.



شکل ۳۶. رابط جوش فولاد/مس و مس/نیتانیم.

۱۷ - آلیاژ آلومینیوم A6061-T6 به فولاد دو فاز ۸۰۰

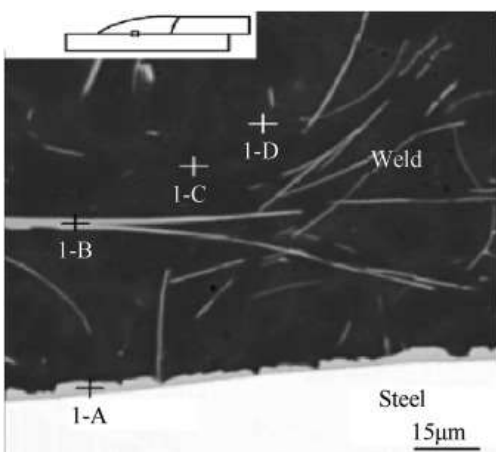
دانه‌ها در ناحیه ناگت نزدیک HAZ درشت شدند و فاز Mg₂Si حل شد که منجر به نرم شدن Al و در نتیجه استحکام مفصل کاهش یافت. مدهاوان و همکاران حضور فازهای Fe₃Al و Fe₂Al₅ در قطعه جوش را از تجزیه و تحلیل XRD و میکروسکوپ الکترونی کشف کردند. ضخامت لایه IM که در شکل ۳۷ مشاهده می‌شود از ۱/۴۹ تا ۳ میلی متر برای فرآیندهای CMT و P-CMT به ترتیب متغیر است. در فصل مشترک، فازهای fi-FeAl₃ و g-Fe₂Al₅ تشکیل شد. جوش‌های شکست خورده در P-CMT در HAZ AI شکست خورده‌اند. این حالت شکست دارای ویژگی‌های شکست انعطاف پذیر با فرورفتگی و حفره است.



شکل ۳۷. الف SEM (ب)
تصویر TEM لایه IM.

۱۸ - آلیاژ آلومینیوم ST06 AC و ورق‌های فولادی گالوانیزه Z

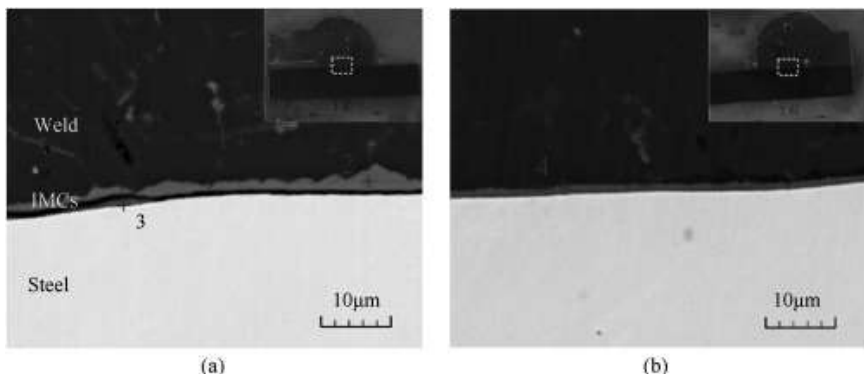
ضخامت لایه سطحی تنها ۰/۶ میکرومتر بود. مقاومت برشی کششی به ۱۸۹ مگاپاسکال رسید که در صد از فلز پایه آلیاژ آلومینیوم است IMC. های سوزنی مانند که در شکل ۳۸ دیده می‌شوند به عنوان ترکیبات بین فلزی سه تایی- Al-Fe-Si توسط سانگ نیو و همکاران تایید شدند که تأثیر منفی بر استحکام کششی اتصال داشتند. با افزایش جریان جوشکاری، IMC‌های سوزنی مانند طولانی تر شدند و بیشتر به داخل جوش گسترش یافتد و مقاومت برشی کششی اتصال را کاهش دادند.



شکل ۳۸. اتصال جوش فولادی Z/STO6 Al

۱۹- ۴- فولاد ضد زنگ ۳۰۴ و ورق آلیاژ آلومینیوم 5A06

تحت تأثیر یک EMF محوری، هر دو قوس جوش و مذاب dr عملیات توسط نیروی لورنز چرخانده شد EMF. رشد لایه های IMC Al/Fe را در طول جوشکاری Al/Feel تحت تأثیر قرار داد. تحت کاربرد EMF ، انتشار Fe به جوش سرکوب شد و محتوای Si در لایه های IMC افزایش یافت، که رشد فاز های IMC Al/Fe شکننده را مهار کرد. شکل ۳۹ تفاوت مشاهده شده در هنگام اعمال یک EMF محوری را در طول فرآیند CMT مقایسه می کند. بیبو لیو و همکاران دریافتند که استفاده از EMF نیروی برشی کششی اتصال جوش را افزایش می دهد. در فرکанс های ۰ EMF هرتز و ۵ هرتز، اتصالات قوی تری بدست آمد و با کاهش جریان سیم پیچ، استحکام مفصل حتی بیشتر شد.



شکل ۳۹. ریزساختار رابط مشترک دامی/Al فولاد (a) بدون (b) با EMF.

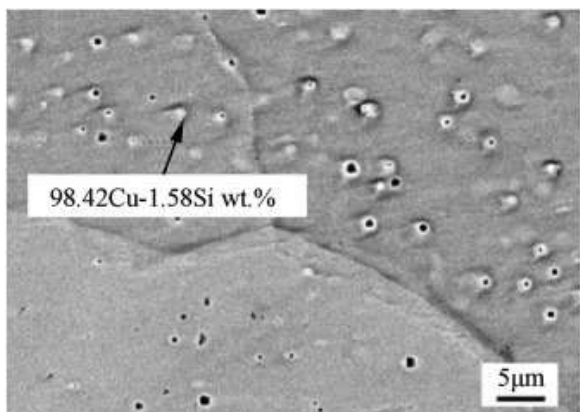
۵- مقایسه جوشکاری CMT و گاز بی اثر فلز

آزمایش های انجام شده توسط Jerzy Jakubowski و Mateusz Grzybicki نشان می دهد که در مقایسه با نوع سنتی جوشکاری MIG، روش CMT مزایای متعددی مانند انرژی کم، بدون پاشش، سرعت جوش بالا دارد. همچنین امکان جوشکاری ورق های نازک فلز را فراهم می کند. با این حال، خطر بزرگی از همچوشهای ناقص وجود دارد، به ویژه برای مفاصل لبه که می توان با افزایش طول قوس از آن جلوگیری کرد. جوشکاری CMT توسط Jair Carlos Dutra و همکاران. پایداری بیشتری نشان داد و ریشه تولید شده در مقایسه با جوشکاری MIG معمولی، روکش خوبی را هم در سطح و هم در پشت اتصال نشان داد.

۶- جوشکاری هیبریدی قوس الکتریکی با لیزر-CMT-فلزات

۱ - ۶ - جوشکاری هیبریدی قوس لیزری T2-CMT-مس

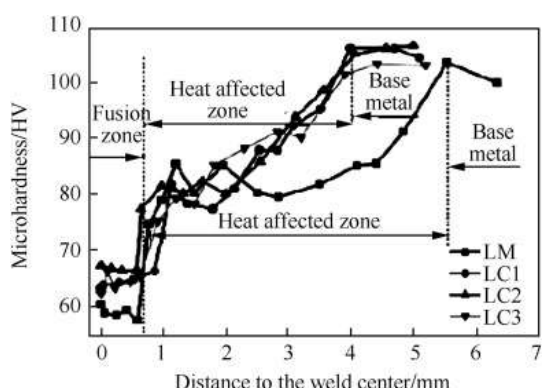
جوش های پیوسته و منظم در حداقل توان ۲ کیلو وات به دست آورد که بسیار کمتر از حداقل سطح توان جوش لیزری (حدود ۵ کیلو وات) است. مقدار زیادی از رسوبات غنی از Si در دانه های ناحیه فیوژن (FZ) جوش های هیبریدی یافت شد که باعث شد FZ جوش های هیبریدی سخت تر از جوش های لیزری باشد. شکل ۴۰ رسوبات غنی از Si در FZ را در جوش های هیبریدی نشان می دهد. UTS ۷۵ و از دیاد طول جوش هیبریدی با بهترین عملکرد به ترتیب تا ۲۲۷ مگاپاسکال، ۲۰۱ مگاپاسکال و ۲۱/۵ درصد بودند. کاهش تخلخل دلیل اصلی تقویت جوش هیبریدی بود.



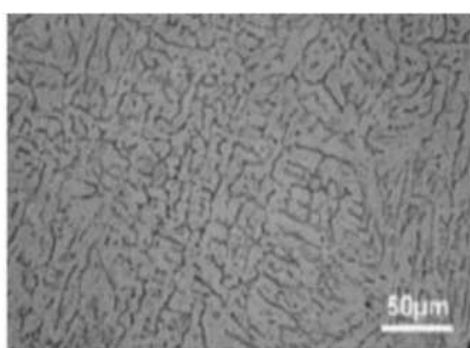
شکل ۴۰. در FZ جوش هیبریدی رسوب می کند.

۲ - ۶ - جوشکاری هیبریدی قوس لیزری CMT-از آلیاژ AA6061

جوشکاری هیبریدی لیزر CMT برای اتصال آلیاژ AA6061 Al با ضخامت ۲ میلی متر توسط Zhang و همکاران توسعه داده شد. اتصالات قابل قبول بدون نقص متالورژی به دست آمد. استحکام کششی جوش منقطع جوش های هیبریدی لیزر-CMT تا ۲۲۳ مگاپاسکال، ۱۰ درصد بیشتر از جوش هیبریدی لیزر PMIG بود. شکل ۴۱ توزیع ریزساختی اتصالات عرضی را نشان می دهد. نتایج نشان داد که جوشکاری هیبریدی لیزر CMT-می تواند به طور بالقوه به ورق های نازک آلیاژ آلمینیوم بپیوندد. شکل ۴۲ دندریت های هم محور را در مرکز ناحیه همچوشی جوش نشان می دهد.



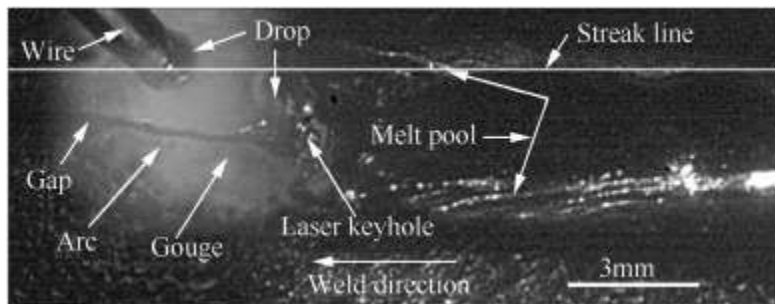
شکل ۴۱. توزیع میکروساختی.



شکل ۴۲. دندریت های هم محور در مرکز FZ.

۳ - ۶ - جوشکاری CMT هیبریدی قوسی لیزری S420 MC D

جوش ترکیبی را با یک تنظیم نزدیک به تولید برای نرخ رسوب سیم کم و متوسط مقایسه کرد. شکل ۴۳ تصویر پرسرعت حوضچه جوش هیبریدی قوس لیزری را نشان می دهد. آنها به این نتیجه رسیدند که CMT برای جوشکاری هیبریدی لیزری ورق های ضخیم تر مناسب است، مشروط بر اینکه شکاف به اندازه کافی باریک باشد تا با نرخ تغذیه محدود سیم پر شود. جوش ترکیبی مزایای پایداری بیشتر مهره ها، کاهش زیر برش، کاهش قدرت تامین، کاهش عرض جوش HAZ و حساسیت کمتر به تغییرات سرعت را نشان داد.

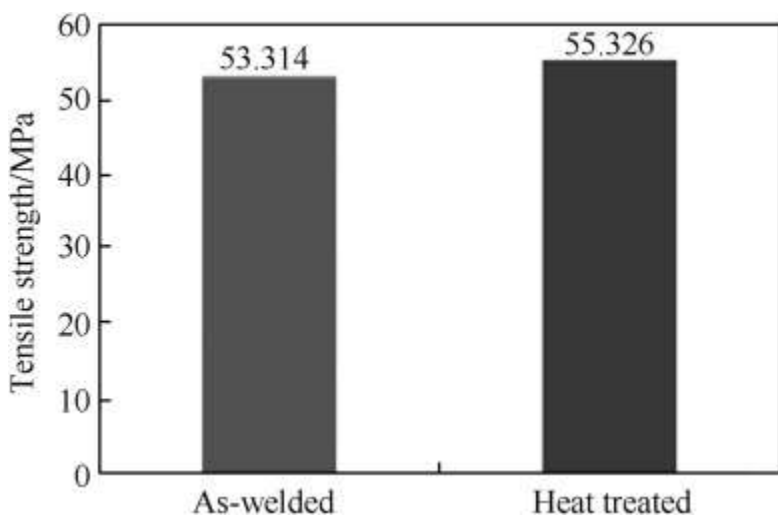


شکل ۴۳. تصویر با سرعت بالا از حوضچه جوش هیبریدی قوس لیزری.

۷ - اثر عملیات جوش فلز پایه و CMT

۱ - ۷ - عملیات حرارتی پس از جوش (PWHT) جوش CMT

اثر PWHT بر خواص مکانیکی و ریزساختاری AA6061 CMT GMAW جوش داده شده با استفاده از GMAW توسط احمد و باکار تجزیه و تحلیل شد. در بررسی آنها، ۳/۸٪ افزایش برای استحکام کششی ثبت شد، همانطور که در شکل ۴۴ مشاهده شد، استحکام سختی ۲۵/۶٪ افزایش یافت و ۲۱/۵٪ از دیدار طول بیشتر به دست آمد. نتایج نشان داد که PWHT قادر است استحکام سختی و خواص کششی اتصالات جوشی AA6061 را با استفاده از روش GMAW CMT افزایش دهد. اینها به این واقعیت نسبت داده می شوند که PWHT توزیع ریز و یکنواختی از رسوبات را در اتصالات جوش ایجاد می کند.

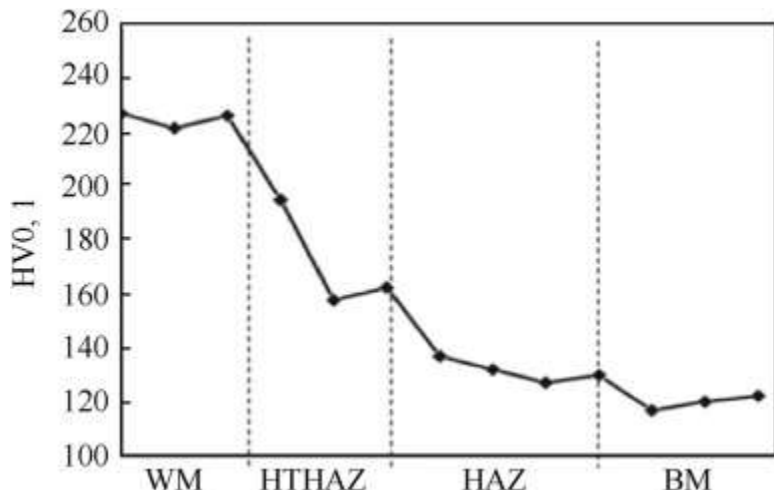


شکل ۴۴. استحکام کششی نمونه های جوش داده شده و عملیات حرارتی شده.

۲ - جوشکاری ورق های فولادی که توسط اکسیداسیون نیترو با استفاده از فرآیند CMT انجام می شود

ورودی حرارت محدود و انتقال کنترل شده فلز که به عنوان مزیت اصلی فرآیند CMT در نظر گرفته می شود، تأثیر منفی بر کیفیت اتصال جوش داشت. مقدار بیش از حد تخلخل مشاهده شد که احتمالاً به دلیل محتوای بالای نیتروژن و اکسیژن در لایه سطحی ماده و سرعت سرد شدن سریع حوضچه جوش است. نتایج نشان می دهد که برای ورق های فولادی تیمار شده با اکسیداسیون نیترو، افزایش شدیدی در مقادیر میکروسختی تا ۴۷ درصد در مقایسه با مقادیر همان ماده بدون عملیات سطحی وجود دارد. پس از جوشکاری CMT، مشاهده شد که مقادیر ریزسختی به تدریج از فلز جوش تا ناحیه تحت تأثیر حرارت کاهش یافت و در فلز پایه همانطور که در شکل ۴۵ مشاهده می شود ثابت شد. پارامترهای فرآیند CMT انجام

شده توسط Maronek Michalec برای این فلز مناسب نبود جوشکاری ورق های فولادی که به دلیل سطح بالای تخلخل با نیترو اکسیداسیون درمان می شوند



شکل ۴۵. روند مقادیر میکروسختی.

۸ - کاربردهای جایگزین فرآیند انتقال فلز سرد

۱ - ۸ - روش کم رقت سوپرآلیاژ INCONEL 718

مطالعه ریزساختاری روکش سوپرآلیاژ INCONEL 718 Doern Ola نشان داد که روکش‌ها عاری از تخلخل و ترک هستند و اتصال کامل روکش‌ها با زیرلایه در همه جوش‌ها حاصل شد. نتیجه این کار نشان داد که فرآیند نسبتاً جدید CMT، با انتخاب پارامترهای جوشکاری مناسب، برای ترمیم ایجاد مناطق آسیب‌دیده از قطعات فرسوده و آسیب‌دیده توربین‌های گاز و سایر تجهیزات با دمای بالا مفید است. ساخته شده از پایه نیکل sup آلیاژ‌ها.

۲ - روش فلزی از آلیاژ Al 6061

بنوا و همکاران روکش‌های Al 6061 را با استفاده از گاز بی اثر فلزی (MIG)، MIG پالسی، انتقال فلز سرد (CMT) و گاز بی اثر تنگستن (TIG) انجام داد. عملیات روکش‌دهی با تکنیک تصویربرداری حرارتی مادون قرمز مورد تجزیه و تحلیل قرار گرفت و دانه‌ها با رادیوگرافی اشعه ایکس، پراش نوترون و نقشه‌برداری میکروسختی مشخص شدند. فرآیند Pulse-Mix CMT به دمای اوج بالاتری رسید و دانه‌های با کیفیت بهتری نسبت به سایر فرآیندهای MIG تولید کرد. سطح تنش پسماند موجود در HAZ نمونه CMT بالاترین بود.

۳ - روش آلیاژ منیزیم AZ31 با انتقال فلز سرد

انتقال فلز سرد (CMT) با ورودی حرارت کم، پتانسیل زیادی برای جوشکاری آلیاژ‌های منیزیم نشان می‌دهد، زیرا در هنگام جوشکاری در برابر درشت شدن دانه، منافذ و ترک‌خوردهای داغ حساس هستند. در این مقاله، هنگ ژانگ و همکاران. اثر سرعت جوش بر روی ریزساختارهای CMT رسویشده با آلیاژ منیزیم AZ31 مشاهده شد. نتایج نشان داد که برای به دست آوردن یک روکش واحد شرایط از آلیاژ منیزیم AZ31-CMT، پالس AZ31، با سرعت جوشکاری بهینه ۱۲ میلی متر بر ثانیه، ترجیح داده می‌شود.

۴ - پوشش آلیاژ Al-Si-Mn روی صفحه Al خالص تجاری

فرآیند CMT می‌تواند به عنوان یک تکنیک کارآمد ارزشی برای رسوی گذاری پوشش‌های ضخیم استفاده شود و در تعمیر جوش اجزای آلیاژ آلمینیوم مفید است. راجیف و همکاران گزارش داد که زاویه مهره، سرعت رسوی و رقت، توابع غیرخطی سرعت جوشکاری هستند. پوشش آنها دارای ضخامت بیشتر از ۲/۵ میلی متر بود که در یک پاس تولید می‌شد که در مقایسه با فرآیندهای اسپری حرارتی بسیار زیاد است.

۵- ۸ - خیس شدن فولاد گالوانیزه توسط آلیاژ های Al 4043

Qiaoli Lin و Yanlin Zhou خیساندن فولاد گالوانیزه را با آلیاژ های Al-Si 4043 تحت شرایط CMT انجام دادند و ساختار سطحی را مورد مطالعه قرار دادند. ترشوندگی نهایی این سیستم عمدتاً با ترشوندگی Fe توسط (Al) تعیین می شد. لایه روی مایع باقیمانده پس از تبخیر نمی تواند ترشوندگی نهایی را بهبود بخشد و همچنین نباید نیروی محركه ای برای پخش شدن باشد اما ممکن است عاملی برای پسماند زاویه تماس باشد. علاوه بر این، حرکت خط سه گانه (یعنی گسترش) در این سیستم توسط ویسکوزیته خود مایع محدود شد [۶۳]. نقش مفید پوشش روی کاهش گرمای ورودی است و می توان یک لایه بین فلزی نازک تری به دست آورد [۶۴]. کیانولی لین و همکاران دریافتند که برای سرعت تغذیه سیم کوچک، اثر Leidenfrost ناشی از تبخیر روی است که باعث ایجاد پاشش غیر خیس و جوشکاری می شود. ترشوندگی با استفاده از WFS بزرگ بهبود یافت.

۶- ۸ - خیس شدن منیزیم آلیاژ AZ61 فولاد گالوانیزه در فرآیند انتقال فلز سرد

روش افت بدون نشت پویا توسط Qiaoli Lin و همکاران استفاده شد. بررسی رفتار خیس شدن فولاد گالوانیزه توسط آلیاژ مذاب Mg AZ61 تحت شرایط انتقال فلز سرد. نتایج مشاهده شده نشان داد که رفتار خیس شدن مستقیماً توسط سرعت تغذیه سیم (یا گرمای ورودی) تعیین می شود.

۷- ۸ - ساخت افزونی آلیاژ مس % Al-6.3% با فرآیند CMT

Baoqiang Cong مقاله ای در مورد تأثیر حالت قوس در فرآیند انتقال فلز سرد (CMT) بر مشخصه تخلخل آلیاژ-Cu 6.3%Cu تولید شده با مواد افزودنی ارائه کرد. آزمایش ها بر روی نهشته های تک لایه و نهشته های چند لایه انجام شد. انواع CMT انجام شده در آزمایش عبارت بودند از CMT معمولی، پالس (CMT-P) ، CMT (CMT-ADV) پیشرفت CMT و CMT پالس پیشرفت (CMT-PADV). ثابت شد که CMT-PADV به دلیل عملکرد عالی در کنترل تخلخل، مناسب ترین فرآیند برای رسوبگذاری آلیاژ آلومینیوم است. فاکتور های کلیدی که این امکان را فراهم می کند، حرارت ورودی کم، ساختار دانه هم محور خوب و تمیز کردن اکسید موثر سیم است.

۸ - اتصالات کامپوزیت-کامپوزیت تقویت شده با پین های جوش داده شده انتقال فلز سرد

استلز و همکاران تست های خستگی را بر روی پین های Ti CMT و فولاد CMT که برای تقویت ورق های پلیمر تقویت شده فیبر کربن (CFRP) استفاده می شوند، انجام داد. پین های فولادی جوش داده شده انتقال فلز سرد و سیله ای مؤثر برای تقویت اتصالات CFRP-CFRP SLS در جهت ضخامت هستند. پس از شکست خط اتصال بین دو لپ CFRP ، پین ها بارها را حمل می کنند و سفتی اتصال را تا شکست نهایی حفظ می کنند. از طرف دیگر، پین های تینتانیوم جوش داده شده CMT در تقویت اتصالات CFRP-CFRP کمتر مؤثر هستند. این را می توان تا حدی به فقدان یک هندسه برجسته بال باله برای پین های Ti CMT نسبت داد.

۹- ۸ - جوشکاری تعمیر ترک کیس های توربین بخار با لحیم کاری CMT

جوشکاری انتقال فلز سرد توسط کوتا کادوی و همکاران مورد بررسی قرار گرفت. برای توسعه یک فرآیند تعمیر برای ترک ها در کیس های توربین بخار، ساخته شده از فولاد ریخته گری Cr-Mo-V ۱۸۸۵۰۰ ، که به مدت ۵۶۶ درجه سانتی گراد کار می کرد. سیم های پرکننده لحیم کاری نقره و طلا به عنوان مواد پوششی استفاده شدند. لحیم کاری CMT با استفاده از سیم پرکننده نقطه ذوب پایین به طور کلی باعث کاهش گرمای ورودی و دمای پیک در طول چرخه حرارتی فرآیند می شود. خواص خوشی-خستگی جوش های تولید شده توسط لحیم کاری CMT با BAg-8 بالاترین میزان بود. بنابراین، لحیم کاری CMT با استفاده از سیم پرکننده با نقطه ذوب پایین مانند BAg-8 یک روش نامزد امیدوارکننده برای تعمیر کیس های توربین بخار است.

۹ - نتیجه گیری

فرآیند، ترکیبات جوش و کاربردهای جوشکاری انتقال فلز سرد گزارش شده توسط نویسندها مختلف مورد بحث قرار گرفته است. نتایج اصلی این مطالعه عبارتند از:

- ✓ جمع شدن سیم در مرحله اتصال کوتاه نقش مهمی ایفا می کند، زیرا منجر به جلوگیری از ایجاد پاشش می شود و همچنین زیبایی مهره جوش را بهتر می کند.
- ✓ جوشکاری هیبریدی Laser-CMT جوش هایی با خواص مکانیکی و زیبایی شناختی بهتری نسبت به جوشکاری لیزری و جوشکاری هیبریدی Laser-MIG تولید می کند.
- ✓ عملیات حرارتی پس از جوش (PWHT) اثر مثبتی بر روی جوش های تهیه شده با توزیع یکنواخت رسوبات ریز ایجاد کرد، در حالی که عملیات اکسیداسیون نیترو فلز پایه قبل از جوشکاری باعث افزایش سطح تخلخل و افزایش شدید در جوش شد. ریزساختی جوش
- ✓ جوشکاری انتقال فلز سرد کاربردهای بسیار متنوعی مانند روش فلزی، ساخت مواد افزودنی، ساخت پین اتصالات مرکب و جوشکاری تعییر ترک دارد.

References

1. [1] K. Furukawa
New CMT arc welding process – welding of steel to aluminium dissimilar metals and welding of super-thin aluminium sheets
Weld Int, 20 (6) (2006), pp. 440-445
[View article](#)
[CrossRef](#)[View in Scopus](#)[Google Scholar](#)
2. [2] Robert Talalaev, Renno Veinthal, Andres Laansoo, Martinš Sarkans
Cold metal transfer (CMT) welding of thin sheet metal products
Est J Eng, 18 (2012), pp. 243-250
[View article](#)
[CrossRef](#)[View in Scopus](#)[Google Scholar](#)
3. [3] C.G. Pickin, K. Young
Evaluation of cold metal transfer (CMT) for welding aluminium alloy
Sci Technol Weld Join, 11 (5) (2006), pp. 583-585
[View article](#)
[CrossRef](#)[View in Scopus](#)[Google Scholar](#)
4. [4] C.G. Pickin, S.W. Williams, M. Lunt
Characterisation of the cold metal transfer (CMT) process and its application for low dilution cladding
J Mater Process Technol, 211 (2011), pp. 496-502
[View PDF](#)[View article](#)[View in Scopus](#)[Google Scholar](#)
5. [5] P. Kah, R. Suoranta, J. Martikainen
Advanced gas metal arc welding processes
Int J Adv Manufacturing Technol, 67 (1) (2013), pp. 655-674
[View article](#)
[CrossRef](#)[View in Scopus](#)[Google Scholar](#)
6. [6] A. Schierl
The CMT-process—a revolution in welding technology
Weld World, 49 (9) (2005), p. 38
[View in Scopus](#)[Google Scholar](#)
7. [7] Jicai Feng, Hongtao Zhang, Peng He
The CMT short-circuiting metal transfer process and its use in thin aluminium sheets welding
Mater Design, 30 (2009), pp. 1850-1852
[View PDF](#)[View article](#)[View in Scopus](#)[Google Scholar](#)
8. [8] H.T. Zhang, J.C. Feng, P. Heb, B.B. Zhang, J.M. Chen, L. Wang
The arc characteristics and metal transfer behaviour of cold metal transfer and its use in joining aluminium to zinc-coated steel
Mater Sci Eng, A499 (2009), pp. 111-113
[View PDF](#)[View article](#)[View in Scopus](#)[Google Scholar](#)
9. [9] R. Cao, Gang Yua, J.H. Chena, Pei-Chung Wang
Cold metal transfer joining aluminum alloys-to-galvanized mild steel
J Mater Process Technol, 213 (2013), pp. 1753-1763
[View PDF](#)[View article](#)[View in Scopus](#)[Google Scholar](#)
10. [10] Sónia Meco, Gonçalo Pardal, Alexander Eder, L. Quintino
Software development for prediction of the weld bead in CMT and pulsed MAG process
Int J Adv Manufacturing Technol, 64 (2013), pp. 171-178

- [View article](#)
[CrossRef](#)[View in Scopus](#)[Google Scholar](#)
11. [11]
Amin S. Azar
A heat source model for cold metal transfer (CMT) welding
J Therm Analysis Calorim, 122 (2) (2015), pp. 741-746
[View article](#)
[CrossRef](#)[View in Scopus](#)[Google Scholar](#)
12. [12]
Anton S. Tremsin, Supriyo Ganguly, Sonia M. Meco, Goncalo R. Pardal, Takenao Shinoharac, W. Bruce Feller
Investigation of dissimilar metal welds by energy resolved neutron imaging
J Appl Crystallogr, 49 (2016), pp. 1130-1140
[View PDF](#)
This article is free to access.
[View in Scopus](#)[Google Scholar](#)
13. [13]
R. Frappier, A. Benoit, P. Paillard, T. Baudin, R. Le Gall, T. Dupuy
Quantitative infrared analysis of welding process- temperature measurement during RSW and CMT-MIG welding
Sci Technol Weld Join, 19 (2014), pp. 38-43
[View article](#)
[CrossRef](#)[View in Scopus](#)[Google Scholar](#)
14. [14]
Fengyuan Shu, Yaohui Lv, Yuxin Liu, Fujia Xu, Zhe Sun, Peng He, Binshi Xu
Residual stress modeling of narrow gap welded joint of aluminum alloy by cold metal transferring procedure
Constr Build Mater, 54 (2014), pp. 224-235
[View PDF](#)[View article](#)[View in Scopus](#)[Google Scholar](#)
15. [15]
Zhe Sun, Yaohui Lv, Binshi Xu, Yuxin Liu, Jianjun Lin, Kaibo Wang
Investigation of droplet transfer behaviours in cold metal transfer process on welding Ti-6Al-4V alloy
Int J Adv Manufacturing Technol, 80 (9) (2015), pp. 2007-2014
[View article](#)
[CrossRef](#)[View in Scopus](#)[Google Scholar](#)
16. [16]
B. Mezrag, F. Deschaux-Beaume, M. Benachour
Control of mass and heat transfer for steel, aluminium joining using cold metal transfer process
Sci Technol Weld Join, 20 (2015), pp. 189-198
[View article](#)
[CrossRef](#)[View in Scopus](#)[Google Scholar](#)
17. [17]
G. Lorenzin, G. Rutili
The innovative use of low heat input in welding- experiences on ‘cladding’ and brazing using the CMT process
Weld Int, 23 (8) (2009), pp. 622-632
[View article](#)
[CrossRef](#)[View in Scopus](#)[Google Scholar](#)
18. [18]
A. Benoit, S. Jobez, P. Paillard, V. Klosek, T. Baudin
Study of Inconel 718 weldability using MIG CMT process
Sci Technol Weld Join, 16 (2011), pp. 477-482
[View article](#)
[CrossRef](#)[View in Scopus](#)[Google Scholar](#)
19. [19]
A. Elrefaey
Effectiveness of cold metal transfer process for welding 7075 aluminium alloys
Sci Technol Weld Join, 20 (2015), pp. 280-285
[View in Scopus](#)[Google Scholar](#)
20. [20]
N. Pavan Kumar, S. Arungalai Vendan, N. Siva Shanmugam
Investigations on the parametric effects of cold metal transfer process on the microstructural aspects in AA6061
J Alloys Compd, 658 (2016), pp. 255-264
[View PDF](#)[View article](#)[Google Scholar](#)
21. [21]
A. Magda, M. Popescu, C. Codrean, E.G. Mocuta
Possibilities of joining galvanized sheet steel using the CMT method (cold metal transfer)
Weld Int, 27 (2013), pp. 665-667
[View article](#)
[CrossRef](#)[View in Scopus](#)[Google Scholar](#)
22. [22]
Md.R.U. Ahsan, Y.R. Kim, C.H. Kim, J.W. Kim, R. Ashiri, Y.D. Park
Porosity formation mechanisms in cold metal transfer (CMT) gas metal arc welding (GMAW) of zinc coated steels
Sci Technol Weld Join, 21 (2016), pp. 209-215
[View article](#)
[CrossRef](#)[View in Scopus](#)[Google Scholar](#)
23. [23]
Md.R.U. Ahsan, Y.R. Kim, R. Ashiri, Y.J. Cho, C. Jeong, Y.D. Park
Cold Metal Transfer (CMT) GMAW of zinc coated steel

- Weld J, 95 (2016), pp. 120-132
[View in Scopus](#)[Google Scholar](#)
24. [24] Jair Carlos Dutra, Régis Henrique Gonçalves e Silva, Bruna Martinello Savi, Cleber Marques, Orestes Estevam Alarcon Metallurgical characterization of the 5083H116 aluminum alloy welded with the cold metal transfer process and two different wire-electrodes (5183 and 5087)
Weld world, 59 (6) (2015), pp. 797-807
[View article](#)
[CrossRef](#)[View in Scopus](#)[Google Scholar](#)
25. [25] Feng-yuan Shu, Ze Tian, Yao-hui Lü, Wen-xiong He, Fei-yang Lü, Jian-jun Lin, Hong-yun Zhao, Bin-shi Xu Prediction of vulnerable zones based on residual stress and microstructure in cmt welded aluminium alloy joint Trans Nonferrous Met. Soc China, 25 (2015), pp. 2701-2707
[View PDF](#)[View article](#)[View in Scopus](#)[Google Scholar](#)
26. [26] Feng-yuan Shu, Yao-hui Lü, Yu-xin Liu, Fu-jia Xu, Zhe Sun, Peng He, Bin-shi Xu FEM modeling of softened base metal in narrow-gap joint by CMT+Pmix welding procedure Trans Nonferrous Met. Soc China, 24 (2014), pp. 1830-1835
[View PDF](#)[View article](#)[View in Scopus](#)[Google Scholar](#)
27. [27] Cong Baoqiang, Ouyang Ruijie, Qi Bojin, Ding Jialuo Influence of cold metal transfer process and its heat input on weld bead geometry and porosity of aluminum-copper alloy welds Rare Metal Mater Eng, 45 (3) (2016), pp. 606-611
[Google Scholar](#)
28. [28] H.T. Zhang, J.C. Feng, P. He Interfacial phenomena of cold metal transfer (CMT) welding of zinc coated steel and wrought aluminium Mater Sci Technol, 24 (11) (2008), pp. 1346-1349
[View article](#)
[CrossRef](#)[View in Scopus](#)[Google Scholar](#)
29. [29] J. Wang, J.C. Feng, Y.X. Wang Microstructure of Al-Mg dissimilar weld made by cold metal transfer MIG welding Mater Sci Technol, 24 (7) (2008), pp. 827-831
[View article](#)
[CrossRef](#)[View in Scopus](#)[Google Scholar](#)
30. [30] Jing Shang, Kehong Wang, Qi Zhou, Deku Zhang, Jun Huang, Guangle Li Microstructure characteristics and mechanical properties of cold metal transfer welding Mg/Al dissimilar metals Mater Design, 34 (2012), pp. 559-565
[View PDF](#)[View article](#)[View in Scopus](#)[Google Scholar](#)
31. [31] Shang Jing, Wang Kehong, Zhou Qi, Zhang Deku, Huang Jun, Li Guangle Microstructure characteristics and properties of Mg/Al dissimilar metals made by cold metal transfer welding with ER4043 filler metal Rare Metal Mater Eng, 42 (7) (2013), pp. 1337-1341
[View PDF](#)[View article](#)[Google Scholar](#)
32. [32] S. Madhavan1, M. Kamaraj, L. Vijayaraghavan, K. Srinivasa Rao Cold metal transfer welding of dissimilar A6061 aluminium alloy-AZ31B magnesium alloy: effect of heat input on microstructure, residual stress and corrosion behavior Trans Indian Inst Metals (2016), pp. 1-8
[View article](#)
[CrossRef](#)[Google Scholar](#)
33. [33] Peng Wang, Shengsun Hu, Junqi Shen, Ying Liang, Jie Pang Effects of electrode positive/negative ratio on microstructure and mechanical properties of Mg/Al dissimilar variable polarity cold metal transfer welded joints Mater Sci Eng, A652 (2016), pp. 127-135
[View PDF](#)[View article](#)[Google Scholar](#)
34. [34] R. Cao, B.F. Wena, J.H. Chen, Pei-Chung Wang Cold metal transfer joining of magnesium AZ31B-to-aluminum A6061-T6 Mater Sci Eng, A560 (2013), pp. 256-266
[View PDF](#)[View article](#)[View in Scopus](#)[Google Scholar](#)
35. [35] S. Madhavan, M. Kamaraj, L. Vijayaraghavan Cold metal transfer welding of aluminium to magnesium: microstructure and mechanical properties Sci Technol Weld Join, 21 (4) (2016), pp. 310-316
[View article](#)
[CrossRef](#)[View in Scopus](#)[Google Scholar](#)
36. [36] Jian Lin, Ninshu Ma, Yongping Lei, Hidekazu Murakawa Shear strength of CMT brazed lap joints between aluminum and zinc-coated steel

- J Mater Process Technol, 213 (2013), pp. 1303-1310
[View PDF](#)
[View article](#)
[View in Scopus](#)
[View in Google Scholar](#)
37. [37]
R. Cao, J.Y. Yu, J.H. Chen, Pei-Chung Wang
Feasibility of cold-metal-transfer welding magnesium AZ31 to galvanized mild steel
Weld Res, 92 (2013), pp. 274-282
[View in Scopus](#)
[View in Google Scholar](#)
38. [38]
R. Cao, J.H. Sun, J.H. Chen
Mechanisms of joining aluminium A6061-T6 and titanium Ti-6Al-4V alloys by cold metal transfer technology
Sci Technol Weld Join, 18 (5) (2013), pp. 425-433
[View article](#)
[CrossRef](#)
[View in Scopus](#)
[View in Google Scholar](#)
39. [39]
R. Cao, Q. Huang, J.H. Chen, Pei-Chung Wang
Cold metal transfer spot plug welding of AA6061-T6-to-galvanized steel for automotive applications
J Alloys Compd, 585 (2014), pp. 622-632
[View PDF](#)
[View article](#)
[View in Scopus](#)
[View in Google Scholar](#)
40. [40]
R. Cao, M. Jing, Z. Feng, J.H. Chen
Cold metal transfer welding-brazing of magnesium to pure copper
Sci Technol Weld Join, 19 (6) (2014), pp. 451-460
[View in Scopus](#)
[View in Google Scholar](#)
41. [41]
R. Cao, T. Wang, C. Wang, Z. Feng, Q. Lin, J.H. Chen
Cold metal transfer welding-brazing of pure titanium TA2 to magnesium alloy AZ31B
J Alloys Compd, 605 (2014), pp. 12-20
[View PDF](#)
[View article](#)
[View in Scopus](#)
[View in Google Scholar](#)
42. [42]
Beytullah Gungor, Erdinc Kaluc, Emel Taban, S.I.K.S.S. Aydin
Mechanical and microstructural properties of robotic Cold Metal Transfer (CMT) welded 5083-H111 and 6082-T651 aluminum alloys
Mater Design, 54 (2014), pp. 207-211
[View PDF](#)
[View article](#)
[View in Scopus](#)
[View in Google Scholar](#)
43. [43]
R. Cao, Z. Feng, J.H. Chen
Microstructures and properties of titanium-copper lap welded joints by cold metal transfer technology
Mater Design, 53 (2014), pp. 192-201
[View PDF](#)
[View article](#)
[View in Scopus](#)
[View in Google Scholar](#)
44. [44]
R. Cao, Z. Feng, Q. Lin, J.H. Chen
Study on cold metal transfer welding-brazing of titanium to copper
Mater Design, 56 (2014), pp. 165-173
[View PDF](#)
[View article](#)
[View in Scopus](#)
[View in Google Scholar](#)
45. [45]
Minjung Kang, Cheolhee Kim
Joining Al 5052 alloy to aluminized steel sheet using cold metal transfer process
Mater Design, 81 (2015), pp. 95-103
[View PDF](#)
[View article](#)
[View in Scopus](#)
[View in Google Scholar](#)
46. [46]
Y.B. Liu, Q.J. Sun, H.B. Sang, J.C. Feng
Microstructure and mechanical properties of cold metal transfer welded aluminium/nickel lap joints
Sci Technol Weld Join, 20 (4) (2015), pp. 307-312
[View in Scopus](#)
[View in Google Scholar](#)
47. [47]
Ahmed Elrefaey, Nigel G. Ross
Microstructure and mechanical properties of cold metal transfer welding similar and dissimilar aluminum alloys
Acta Metall Sin Engl Lett, 28 (6) (2015), pp. 715-724
[View article](#)
[CrossRef](#)
[View in Scopus](#)
[View in Google Scholar](#)
48. [48]
Gonçalo Pardal, Supriyo Ganguly, Stewart Williams, Jay Vaja
Dissimilar metal joining of stainless steel and titanium using copper as transition metal
Int J Adv Manufacturing Technol, 86 (5) (2016), pp. 1139-1150
[View PDF](#)
This article is free to access.
[CrossRef](#)
[View in Scopus](#)
[View in Google Scholar](#)
49. [49]
S. Madhavan, M. Kamaraj, L. Vijayaraghavan
Microstructure and mechanical properties of cold metal transfer welded aluminium/dual phase steel
Sci Technol Weld Join, 21 (3) (2016), pp. 194-200
[View article](#)
[CrossRef](#)
[View in Scopus](#)
[View in Google Scholar](#)
50. [50]
Song Niu, Su Chen, Honggang Dong, Dongsheng Zhao, Xiaosheng Zhang, Xin Guo, Guoqiang Wang

- Microstructure and properties of lap joint between aluminum alloy and galvanized steel by CMT
J Mater Eng Perform, 25 (5) (2016), pp. 1839-1847
[View article](#)
[CrossRef](#)[View in Scopus](#)[Google Scholar](#)
51. [51]
Yibo Liu, Qingjie Sun, Jinping Liu, Shijie Wang, Jicai Feng
Effect of axial external magnetic field on cold metal transfer welds of aluminium alloy and stainless steel
Mater Lett, 152 (2015), pp. 29-31
[View PDF](#)[View article](#)[Google Scholar](#)
52. [52]
Mateusz Grzybicki, Jerzy Jakubowski
Comparative tests of steel car body sheet welds made using CMT and MIG/MAG methods
Weld Int, 27 (8) (2013), pp. 610-615
[View article](#)
[CrossRef](#)[View in Scopus](#)[Google Scholar](#)
53. [53]
Jair Carlos Dutra, Régis Henrique Goncalves e Silva, Cleber Marques
Melting and welding power characteristics of MIG–CMT versus conventional MIG for aluminium 5183
Weld Int, 29 (3) (2015), pp. 181-186
[View article](#)
[CrossRef](#)[View in Scopus](#)[Google Scholar](#)
54. [54]
Yulong Chen, Cong Chen, Ming Gao, Xiaoyan Zeng
Achieving high strength joint of pure copper via laser-cold metal transfer arc hybrid welding
Metallurgical Mater Trans A, 47 (6) (2016), pp. 2866-2874
[View article](#)
[CrossRef](#)[View in Scopus](#)[Google Scholar](#)
55. [55]
C. Zhang, G. Li, M. Gao, J. Yan, X.Y. Zeng
Microstructure and process characterization of laser-cold metal transfer hybrid welding of AA6061 aluminum alloy
Int J Adv Manufacturing Technol, 68 (5) (2013), pp. 1253-1260
[View article](#)
[CrossRef](#)[View in Scopus](#)[Google Scholar](#)
56. [56]
Jan Frostevarg, Alexander F.H. Kaplan, Javier Lamas
Comparison of CMT with other arc modes for laser-arc hybrid welding of steel
Weld World, 58 (5) (2014), pp. 649-660
[View article](#)
[CrossRef](#)[View in Scopus](#)[Google Scholar](#)
57. [57]
R. Ahmad, M.A. Bakar
Effect of a post-weld heat treatment on the mechanical and microstructure properties of AA6061 joints welded by the gas metal arc welding cold metal transfer method
Mater Design, 32 (2011), pp. 5120-5126
[View PDF](#)[View article](#)[View in Scopus](#)[Google Scholar](#)
58. [58]
I. Michalec, M. Maronek
Influence of the surface layer when the CMT process is used for welding steel sheets treated by nitrooxidation
Acta Polytech, 52 (2) (2012), pp. 43-47
[View in Scopus](#)[Google Scholar](#)
59. [59]
O.T. Ola, F.E. Doern
A study of cold metal transfer clads in nickel-base INCONEL 718 superalloy
Mater Design, 57 (2014), pp. 51-59
[View PDF](#)[View article](#)[View in Scopus](#)[Google Scholar](#)
60. [60]
A. Benoit, P. Paillard, T. Baudin, V. Klosek, J.B. Mottin
Comparison of four arc welding processes used for aluminium alloy cladding
Sci Technol Weld Join, 20 (1) (2015), pp. 75-81
[View in Scopus](#)[Google Scholar](#)
61. [61]
Heng Zhang, Shengsun Hu, Zhijiang Wang, Ying Liang
The effect of welding speed on microstructures of cold metal transfer deposited AZ31 magnesium alloy clad
Mater Design, 86 (2015), pp. 894-901
[View PDF](#)[View article](#)[Google Scholar](#)
62. [62]
G.P. Rajeev, M. Kamaraaj, S.R. Bakshi
Al-Si-Mn alloy coating on aluminum substrate using cold metal transfer (CMT) welding technique
JOM, 66 (6) (2014), pp. 1061-1067
[View article](#)
[CrossRef](#)[View in Scopus](#)[Google Scholar](#)
63. [63]
Yanlin Zhou, Qiaoli Lin
Wetting of galvanized steel by Al 4043 alloys in the first cycle of CMT process
J Alloys Compd, 589 (2014), pp. 307-313

- [View PDF](#)[View article](#)[View in Scopus](#)[Google Scholar](#)
64. [64] Q. Lin, Y. Zhou, R. Cao, J.H. Chen
Wetting of steel by Al 4043 alloys in cold metal transfer process
Sci Technol Weld Join, 20 (6) (2015), pp. 454-459
[View in Scopus](#)[Google Scholar](#)
65. [65] Qiao-li Lin, Gao-jun Mao, Qian Huang, Rui Cao, Jian-hong Chen
Effect of Zn vaporization on wetting of Al-galvanized steel in cold metal transfer process
J Iron Steel Res Int, 23 (6) (2016), pp. 566-572
[View PDF](#)[View article](#)[CrossRef](#)[View in Scopus](#)[Google Scholar](#)
66. [66] Qiaoli Lin, Chengzong Zeng, Rui Cao, Jianhong Chen
The spreading simulation of molten Al alloy on Q235 steel in the first cycle of cold metal transfer process
Int J Heat Mass Transf, 96 (2016), pp. 118-124
[View PDF](#)[View article](#)[CrossRef](#)[View in Scopus](#)[Google Scholar](#)
67. [67] Qiaoli Lin, Fan Yang, Rui Cao, Jianhong Chen, Tingbiao Guo
Wetting and interfacial characteristics of Mg AZ61 alloy/galvanized steel in cold metal transfer process
Metallurgical Mater Trans A, 46 (9) (2015), pp. 3793-3796
[View article](#)
[CrossRef](#)[View in Scopus](#)[Google Scholar](#)
68. [68] Baoqiang Cong, Jialuo Ding, Stewart Williams
Effect of arc mode in cold metal transfer process on porosity of additively manufactured Al-6.3%Cu alloy
Int J Adv Manufacturing Technol, 76 (2015), pp. 1593-1606
[View article](#)
[CrossRef](#)[Google Scholar](#)
69. [69] S. Stelzer, S. Ucsnik, G. Pinter
Fatigue behaviour of composite-composite joints reinforced with cold metal transfer welded pins
Int J Fatigue, 81 (2015), pp. 37-47
[View PDF](#)[View article](#)[View in Scopus](#)[Google Scholar](#)
70. [70] Kota Kadoi, Aoi Murakami, Kenji Shinozaki, Motomichi Yamamoto, Hideo Matsumura
Crack repair welding by CMT brazing using low melting point filler wire for long term used steam turbine cases of Cr-Mo-V cast steels
Mater Sci Eng, A666 (2016), pp. 11-18
[View PDF](#)[View article](#)[View in Scopus](#)[Google Scholar](#)